МИНИСТЕРСТВО ОБРАЗОВАНИЯ И НАУКИ РЕСПУБЛИКИ КАЗАХСТАН КАЗАХСКИЙ НАЦИОНАЛЬНЫЙ ИССЛЕДОВАТЕЛЬСКИЙ ТЕХНИЧЕСКИЙ УНИВЕРСИТЕТ имени К.И.САТПАЕВА



Институт геологии и нефтегазового дела имени К. Турысова Кафедра: Геофизика

КОМПЛЕКСНАЯ ИНТЕРПРЕТАЦИЯ МАТЕРИАЛОВ ГИС

ДЛЯ СПЕЦИАЛЬНОСТИ 7М07105 «НЕФТЕГАЗОВАЯ И РУДНАЯ ГЕОФИЗИКА»

ИСТЕКОВА С.А., ДОКТ. ГЕОЛ.-МИНЕРАЛ. НАУК

KOMINEKCHAR WHITEPIPETALIWA KOMINEKCHAR WHITEPIPETALIWA AAHHDIX FEOONSWIJECKINX WCCNEROBAHWW CKBAWWHI NEKLINA JA-15

ЛИТЕРАТУРА

- 1. Латышова М.Г., Мартынов В.Г., Соколова Т.Ф. Практическое руководство по интерпретации данных ГИС: Учеб. Пособие для вузов. М.: ООО «Недра-Бизнесцентр», 2007. 327 с.
- 1. Сковородников И.Г. Геофизические исследования скважин: Курс лекций. Екатеринбург: УГГГА, 2003. 294 с.

ИНТЕРПРЕТАЦИЯ ДАННЫХ ГИС

Последовательность количественной интерпретации:

- Определение литологического состава пород
- Определение пористости
- Определение глинистости
- Коррекция пористости за глинистость
- Определение водонасыщенности
- Прогонозирование проницаемости

Литологический состав и пористость

Crossplots:

Neutron-Density

Sonic-Density

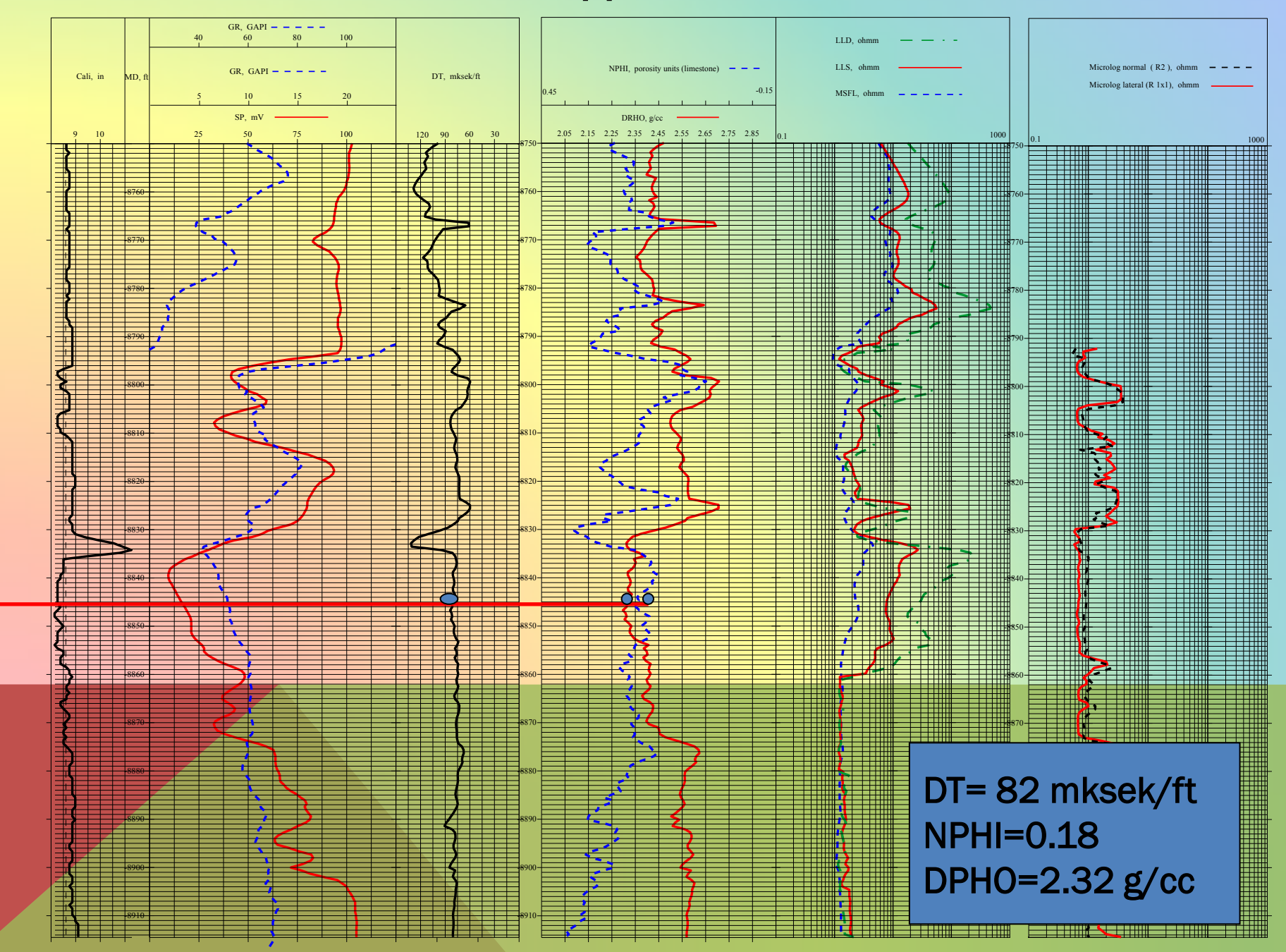
Sonic-Neutron

Litho-Density

Litho-Density - Natural Gamma Ray Spectrometry

Natural Gamma Ray Spectrometry

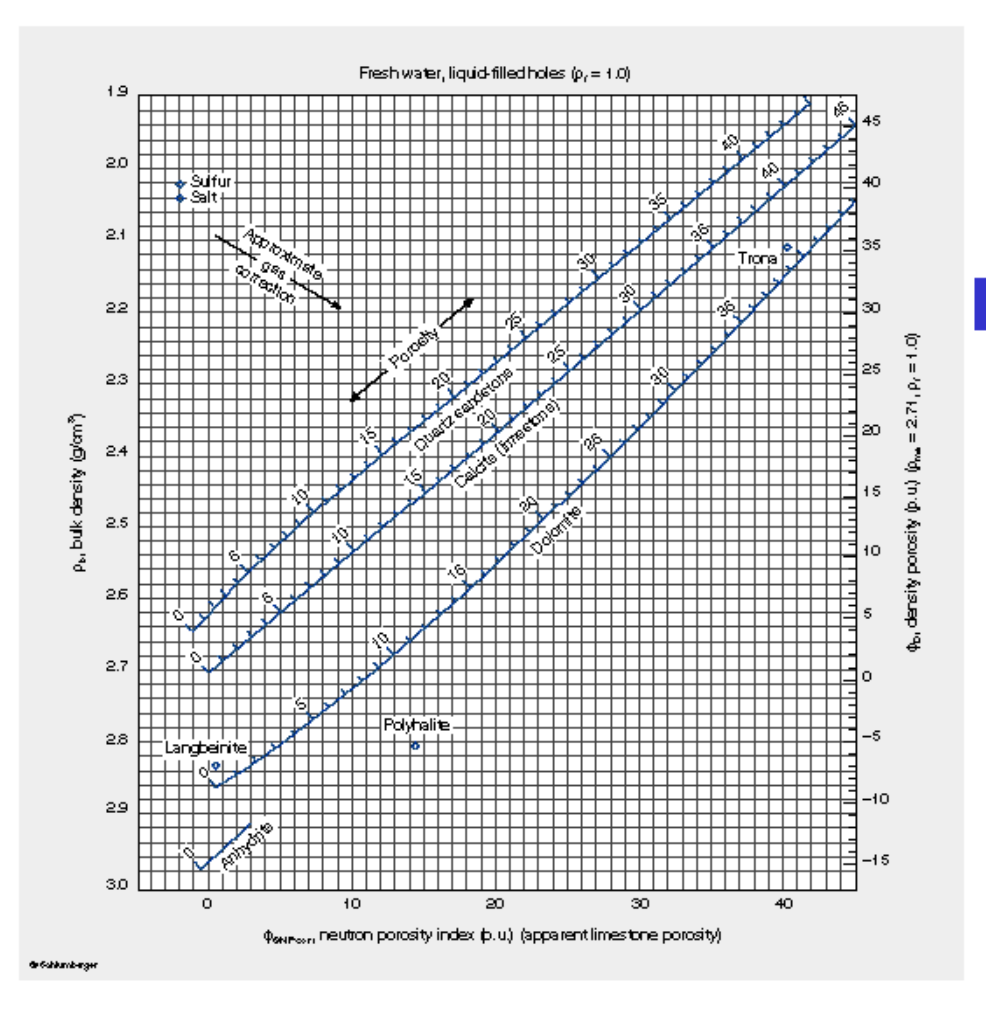
НАБОР ДИАГРАММ ГИС





Porosity and Lithology Determination from Formation Density Log and SNP Sidewall Neutron Porosity Log

CP-1a



The neutron-density-sonic crossplot charts (Charts CP-1, CP-2 and CP-7) provide insight into lithology and permit the determination of porosity. Chart selection depends on the anticipated mineralogy. Neutron-density can be used to differentiate between the common reservoir rocks [quartz sandstone, calcite (limestone) and dolomite] and shale and some evaporities.

Sonic-neutron can be used to differentiate between the common reservoir rocks when clay content is negligible. Sonic-density can be used to differentiate between a single known reservoir rock and shale and to identify evaporate minerals.

Continued on next page

Neutron-Density Crossplot

CHART CP-1A

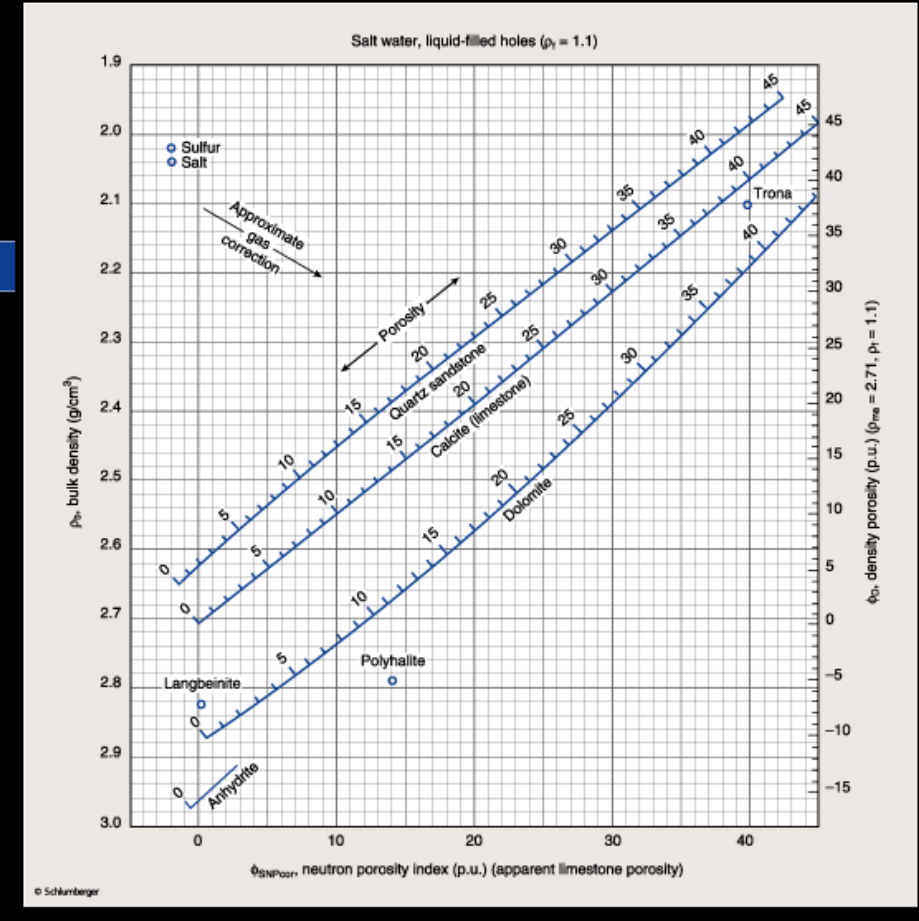
4-1

Crossplots for Porosity, Lithology and Saturation

Schlumberger

Portraitly and Lithology Determination from Formation Density Log and SNP Stdswall Nautron Portraity Log

(P-16



To use any of these simula, enter the elections and collection with the negatical neutron, density on earlie withe. The point of interestion decimes the littlebury (mineral psy) and the pointing \$. Note that all newtons depose is to appear at Louisians generally, that where the first vector $(p_i = 1.0 \text{ given}^2)$ and solino vector $(p_i = 1.0 \text{ given}^2)$ and solino vector $(p_i = 1.1 \text{ given}^2)$ because p_i and that the search others consider, sources assuming, velocities assumed assumed $(p_i = 1.0 \text{ given}^2)$ and surphises observation interviews (rief).

Neutron-Density Crossplot

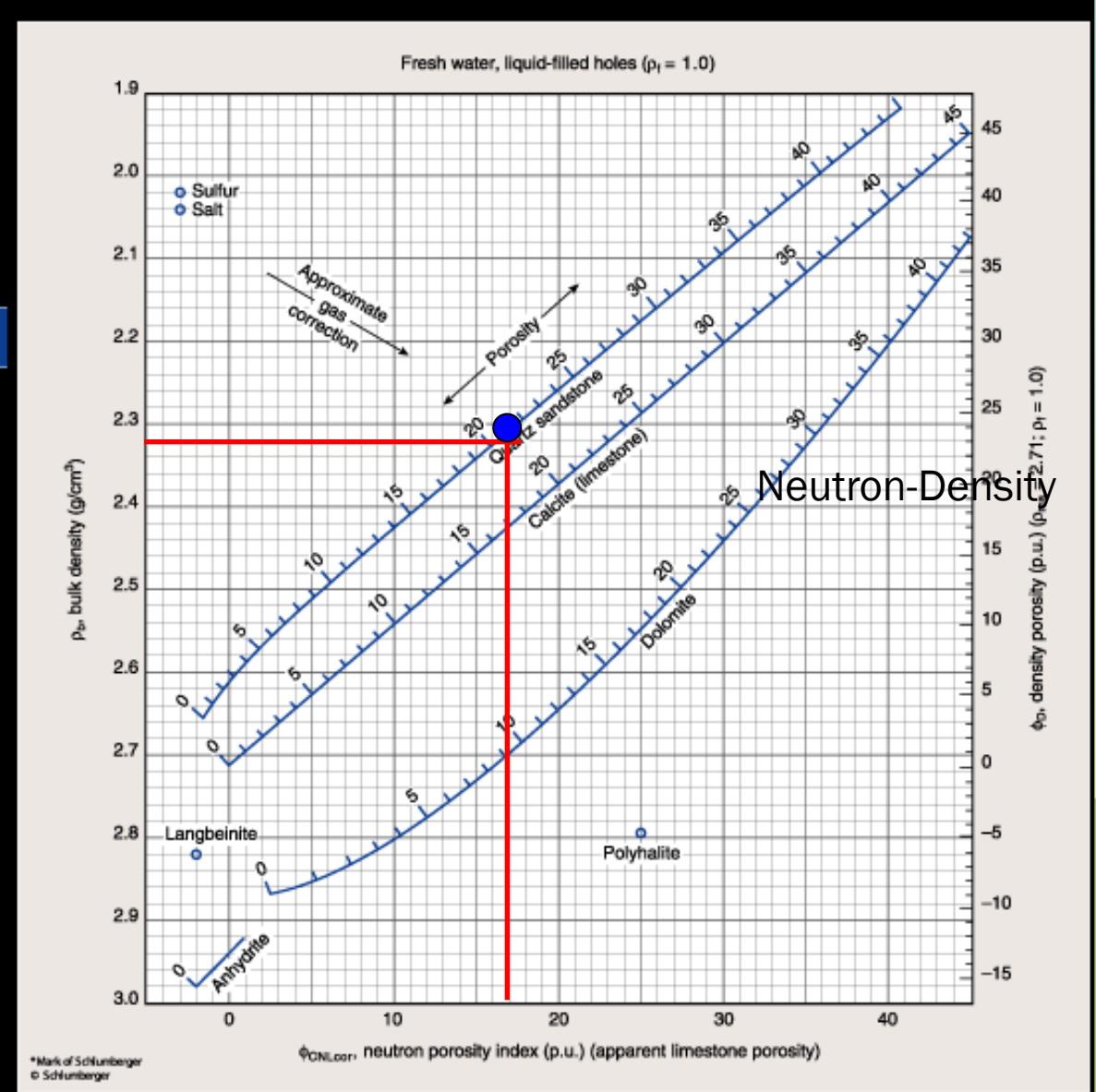
Chart CP-1b

œ

CP-1c

Porosity and Lithology Determination from Formation Density Log and CNL* Compensated Neutron Log

For CML lags leafor 1900, or labeled MPHI



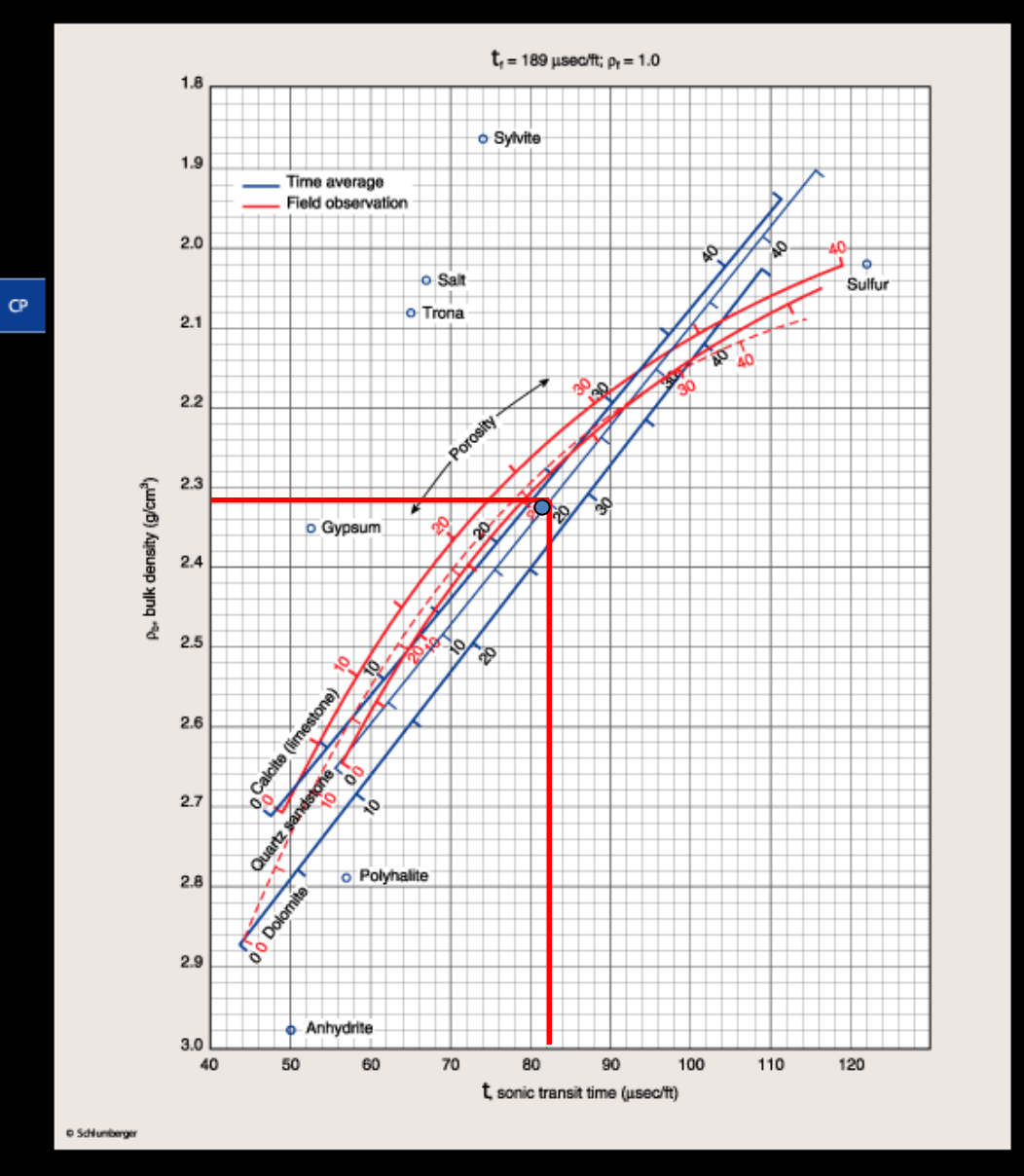
Neutron-**Density** Crossplot

Chart CP-1c

Porosity = 21.4%

Lithology Identification from Formation Deneity Log and Sonic Log





Sonic-Density Crossplot

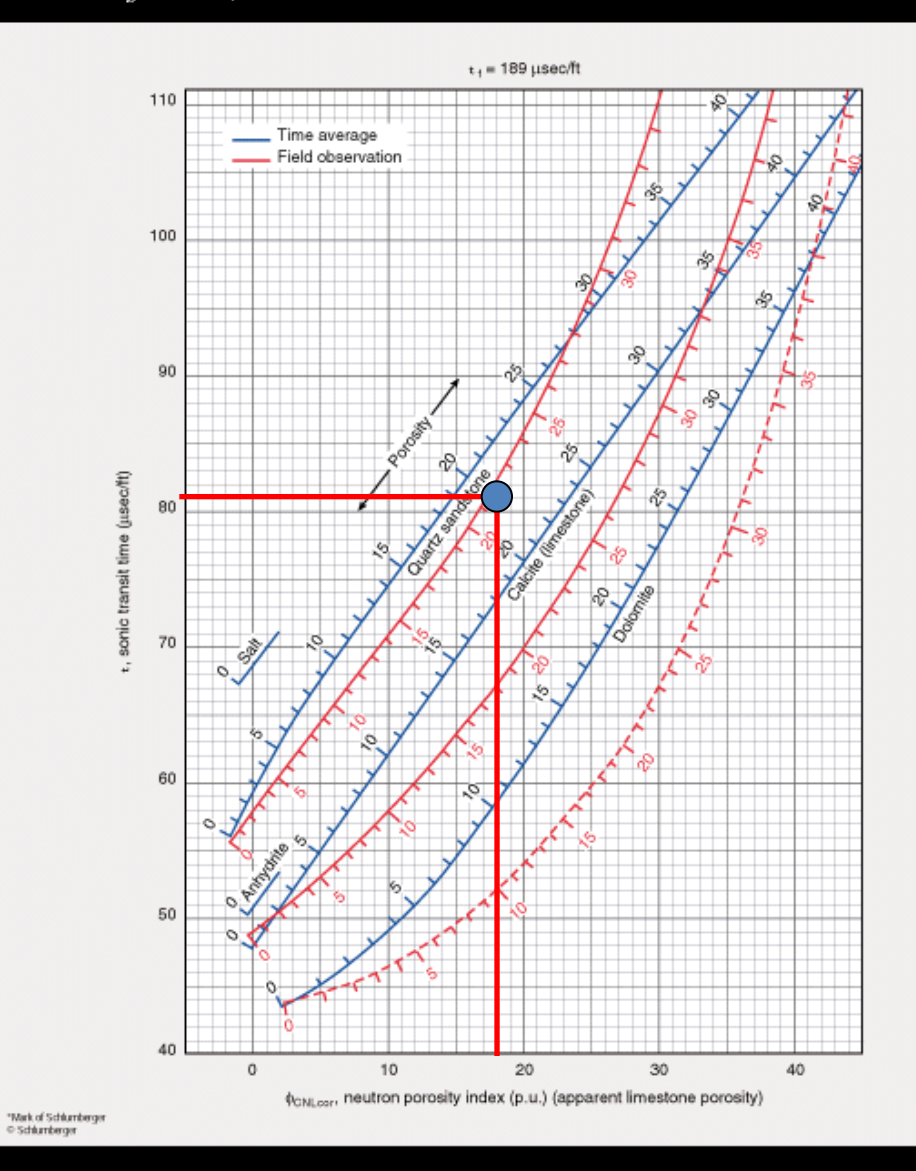
Chart CP-7

Porosity = 19.5%

Porosity and Lithology Determination from Sonic Log and CNL* Compensated Neutron Log rands by bytes 1888, or licebid NPH







Neutron-Sonic Crossplot

Chart CP-2b

Porosity = 20.1% Or **Porosity = 21.4%**

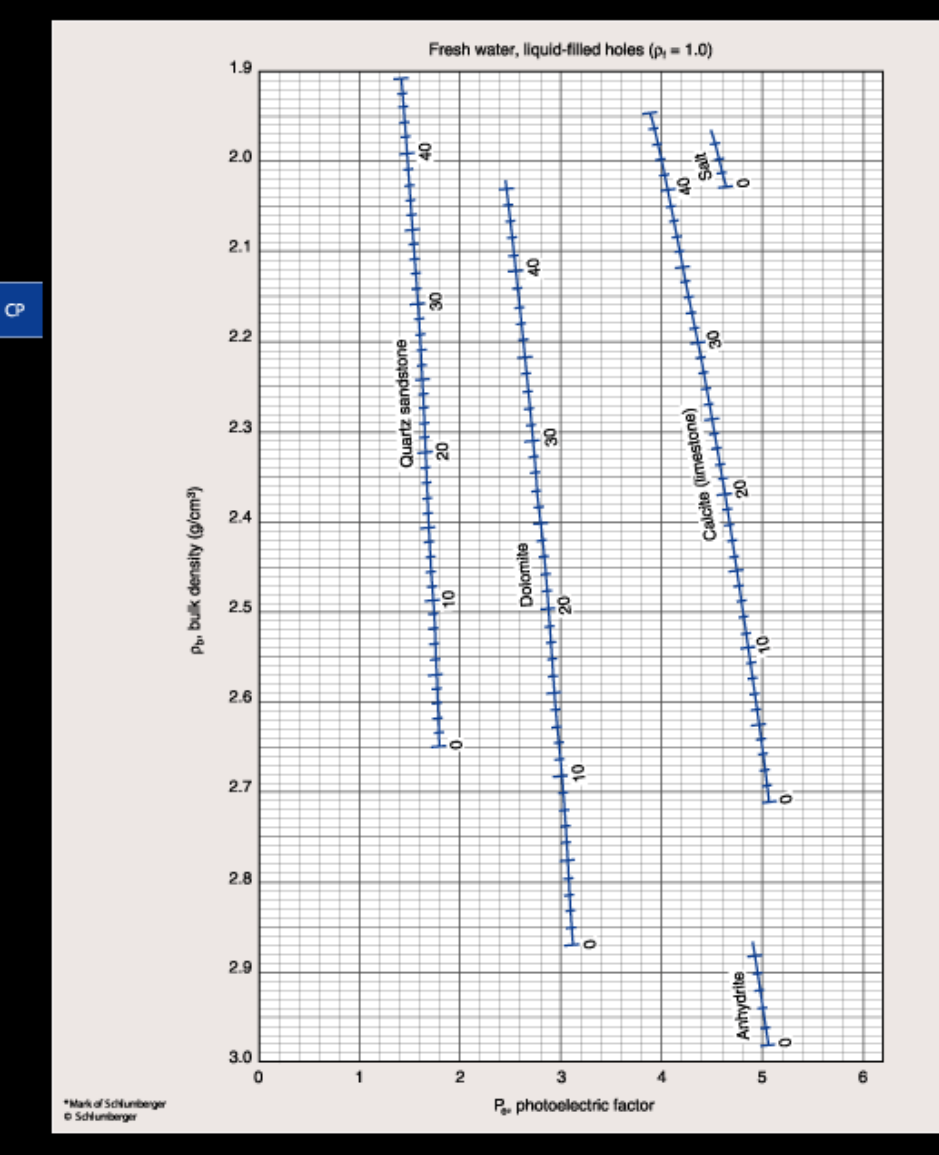
Litho-Density Crossplot

CHART CP-16 Crossplots for Porosity, Lithology and Saturation

Porcetty and Lithology Determination from Litho-Density* Log

Schlumberger

CP-16



Par more information see Reference 27.

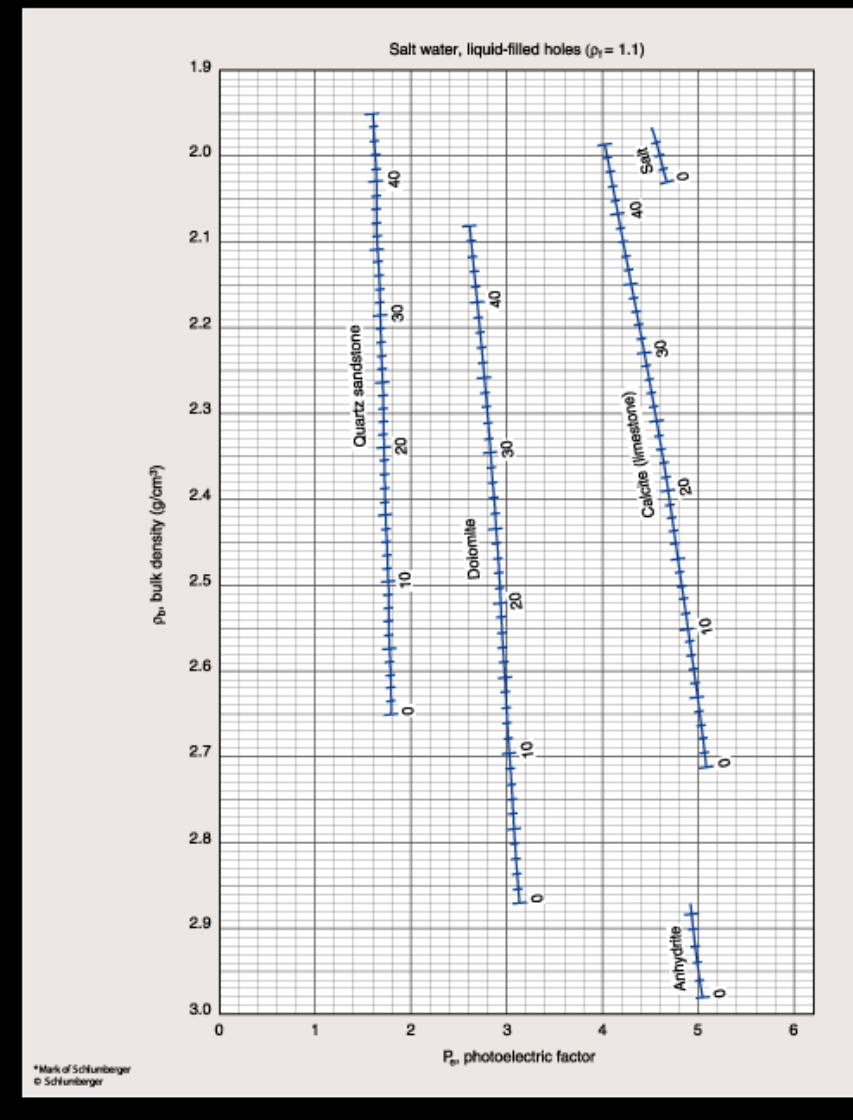
Litho-Density Crossplot

CHART CP-17 Crossplots for Porosity, Lithology and Saturation

Porosity and Lithology Datermination from Litho-Density* Log



Q2-17

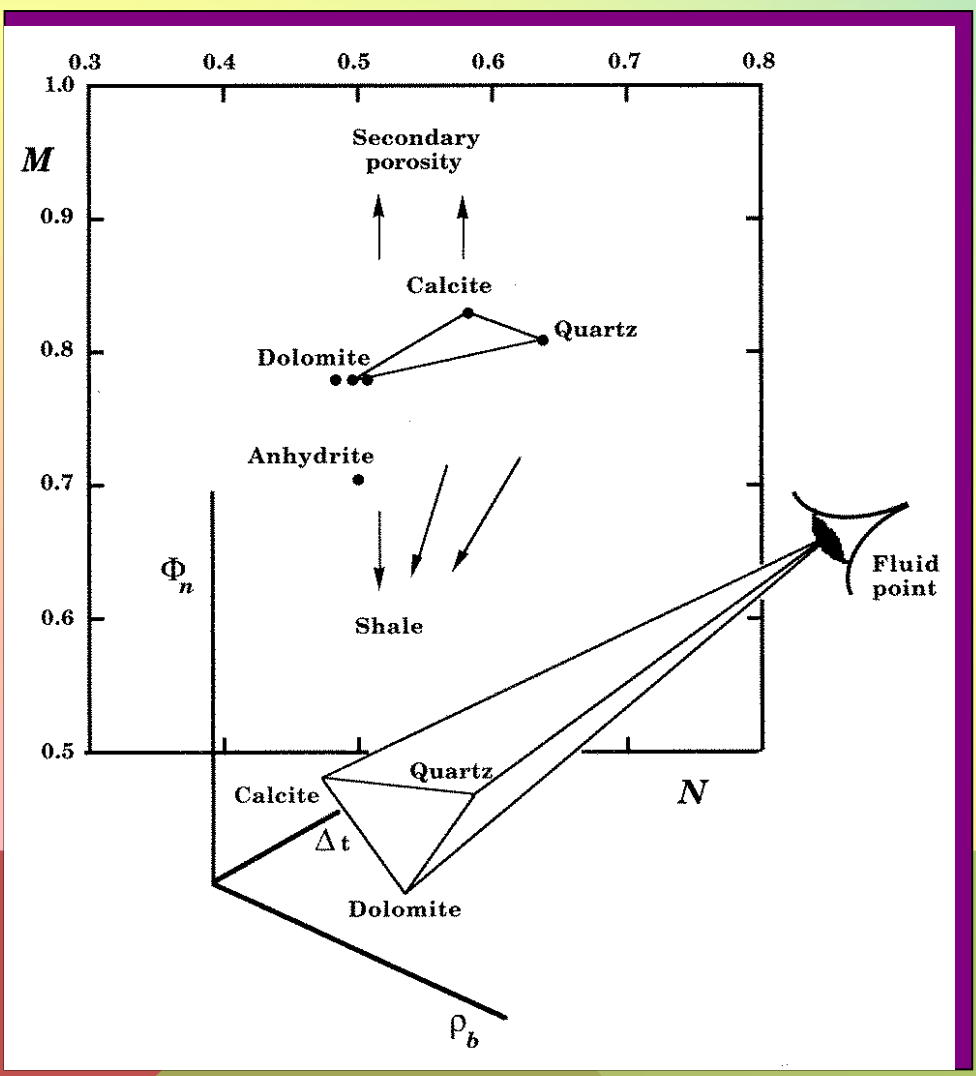


Литологический состав пород Сложные коллекторы

Crossplots

M-N Plot
Matrix Identification (MID) plot
Lithology Identification plot

ОПРЕДЕЛЕНИЕ ЛИТОЛОГИЧЕСКОГО СОСТАВА ПОРОД СЛОЖНЫХ КОЛЛЕКТОРОВ



M - N Plot

$$M = \frac{\Delta t_{fl} - \Delta t}{\rho_b - \rho_{fl}} \cdot 0.01 \text{ and } N = \frac{\phi_{Nfl} - \phi_N}{\rho_b - \rho_{fl}}.$$

Fre	sh Mud	Salty Mud
ρfl	1.0	1.1
φNf I	1.0	1.0
Δtfl	189	185

Определение литологического состава пород сложных коллекторов

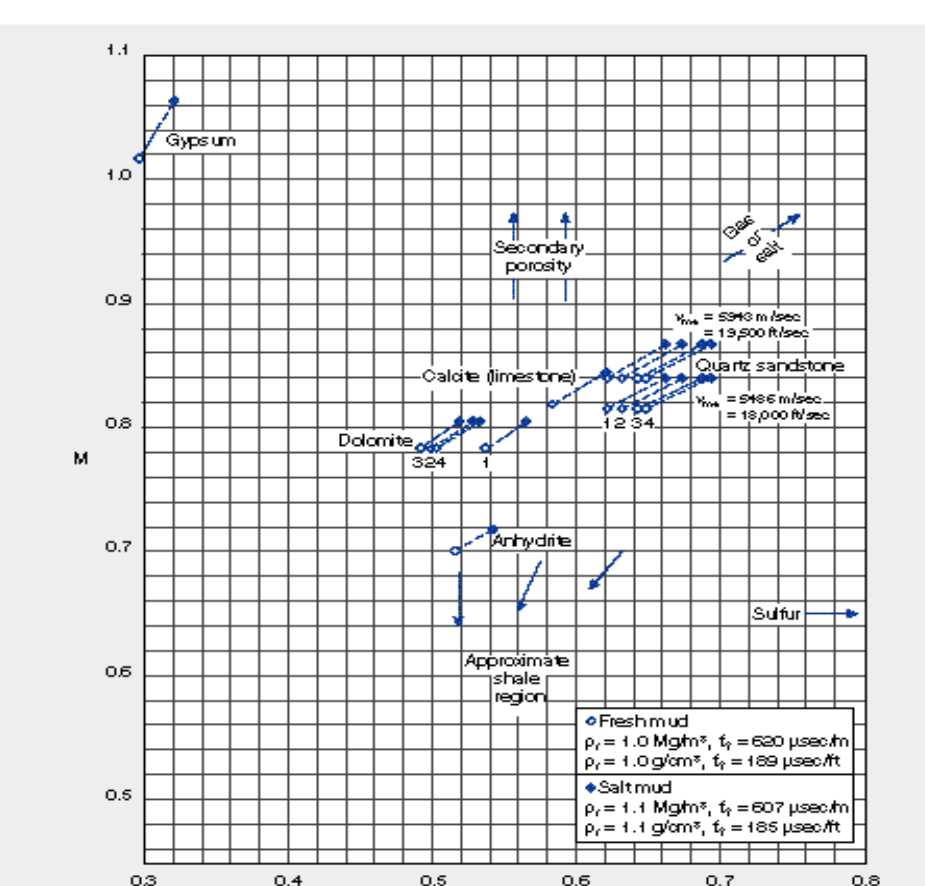
Fluid coefficients for various fluids and types of porosity

Fluids		Δt _f	Pf	ΦfN
Primary Porosit (Liquid - Filled):	•	189.0 185.0	1.00 1.10	1
Secondary Pord (In Dolomite):	er .	43.5	1.00 1.10	1
(In Limestone):	Fresh mud Salt mud	47.5	1.00 1.10	1
(In Sandstone):	Fresh mud Salt mud	55.5	1.00 1.10	1

Определение литологического состава пород сложных коллекторов

Mineral	1 1 1 1 1 1 1 1 1 1 1 1 1 1 1 1 1 1 1 1	Mud = 1)	Salt Mud $(e_f = 1.1)$	
	М	N*	М	N*
Sandstone 1 v _{ma} = 18,000	0.810	0.636	0.835	0.667
Sandstone 2 v _{ma} = 19,500	0.835	0.636	0.862	0.667
Limestone	0.827	0.585	0.854	0.621
Dolomite 1 $\phi = 5.5-30\%$	0.778	0.489	0.800	0.517
Dolomite 2 $\phi = 1.5-5.5\%$	0.778	0.500	0.800	0.528
Dolomite 3 $\phi = 0-1.5\%$	0.778	0.513	0.800	0.542
Anhydrite e _{ma} = 2.98	0.702	0.504	0.718	0.533
Gypsum	1.015	0.296	1.064	0.320
Salt			1.269	1.086

M and N values for common minerals



N

de Galdan berger

CP

This crossplot may be used to help identify mineral mixtures from sonic, density and neutron logs. (The CNL neutron log is used in the above chart; the time average sonic response is assumed.) Except in gas-bearing formations, M and N are practically independent of porosity. They are defined as:

$$M = \frac{\epsilon_{\text{f}} - \epsilon}{\rho_{\text{b}} - \rho_{\text{f}}} \times 0.01 \text{ (English)}$$

$$M = \frac{\epsilon_{\text{f}} - \epsilon}{\rho_{\text{b}} - \rho_{\text{f}}} \times 0.003 \text{ (metric)}$$

$$N = \frac{\langle \phi_{N} \rangle_{f} - \phi_{N}}{\rho_{b} - \rho_{f}}$$
 (English or metric)

Points for binary mixtures plot along a line connecting the two mineral points. Ternary mixtures plot within the triangle defined by the three constituent minerals. The effect of gas, shaliness, secondary porosity, etc., is to shift datapoints in the directions shown by the arrows.

The dolomite and sandstone lines on Chart CP-8 are divided by porosity range as follows: 1) $\phi = 0$ (tight formation); 2) $\phi = 0$ to 12 p.u.; 3) $\phi = 12$ to 27 p.u.; and 4) $\phi = 27$ to 40 p.u.

Определение литологического состава пород сложных коллекторов

Mineral	∆t _{ma}	ρ _{ma}	φ _{ma} SNP	ФmaCNL
Sandstone 1 (V _{ma} = 18,000) f > 10%	55.5	2.65	-0.035*	-0.05*
Sandstone 2 (V _{ma} = 19,500) f > 10%	51.2	2.65	-0.035*	-0.05*
Limestone	47.5	2.71	0.00	0.00
Dolomite 1 (f = 5.5% to 30%)	43.5	2.87	0.02*	0.065*
Dolomite 2 (f = 1.5% to 5.5% & > 30%)	43.5	2.87	0.02*	0.065*
Dolomite 3 (f = 0.0% to 1.5%)	43.5	2.87	0.005*	0.04*
Anhydrite	50.0	2.98	-0.005*	-0.0020
Gypsum	52.0	2.35	0.49**	
Salt	67.0	2.03	0.04	-0.01

MATRIX COEFFICIENTS OF VARIOUS MINERALS

Определение параметров матрицы горных пород по данным ГИС

CHART CP-14 Crossplots for Porosity, Lithology and Saturation

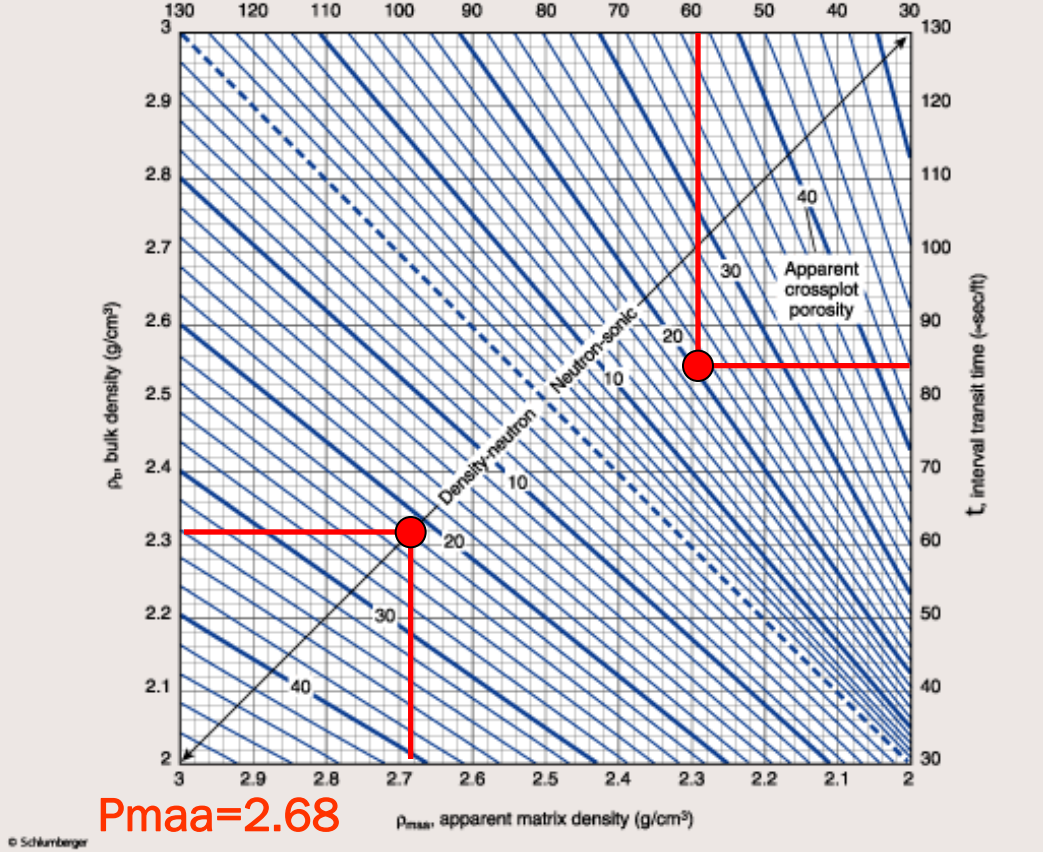
Determination of Apparent Matrix Parameters from Bulk Deneity or Interval Transit Time and Apparent Total Porceity

Schlumberger

(2-14 (English)







The MIDI girt pounds the identification of ords minavingy or hibology through a compedison of neutral, density and sorie members in.

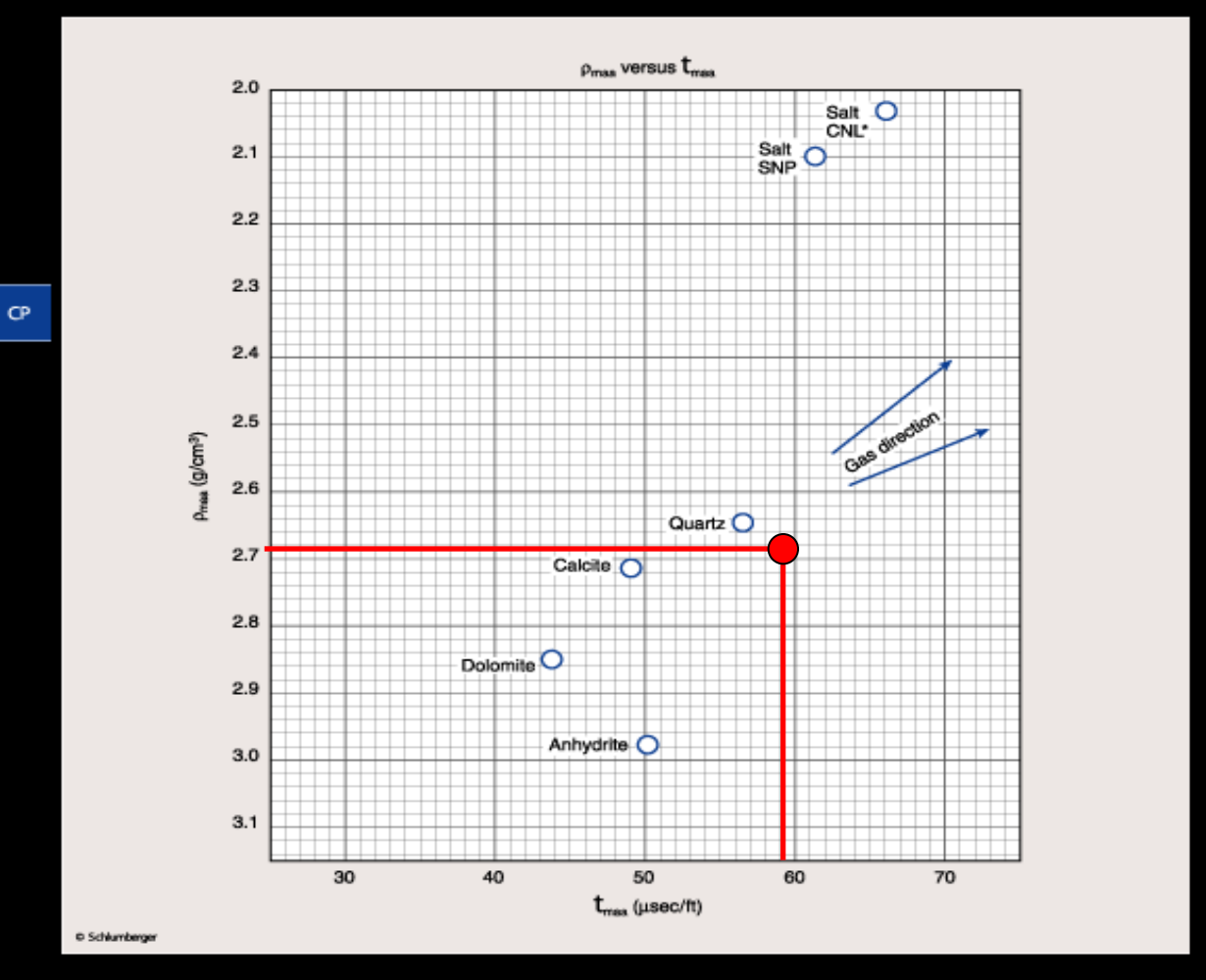
To nee the MID plot, three steps are equived. First, an appearant emergical parasity unsafes determined using the appropriate

nature-density and empirical (m.), survest nature-conto acceplent (Charle CF-1 incurgi: CF-7). For any data plenting above too sendstant curve on ince charle, the approach current of penalty is distinct by a various, purposter, to the sendstone surve.

Cowlinate an wall page

MID Plot

CHART CP-15



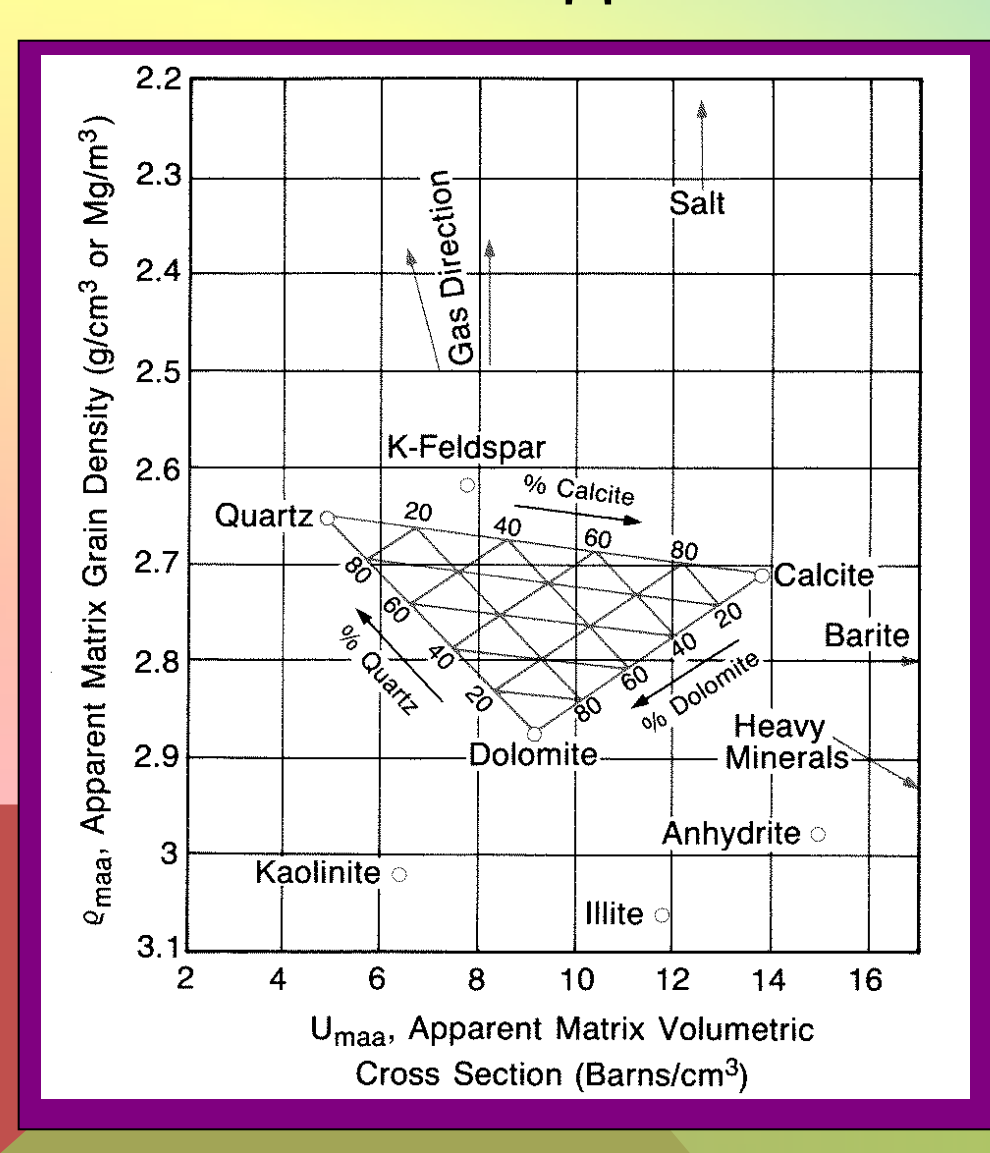
Europelea:

Lenni i T= 27 paneik p_i = 2.04 pinni p_i = -8 p_i = 1.0 pinni³ Lored 2 D= 16 panell p_t = 2.45 plane¹ hese. = 24 p.n. 201 T_{max} = 23 µ222/R T_{max} = 42 3 µ222/R p_{max} = 2.05 p/207 p_{max} = 2.23 p/207

From the MIID girt, Lovel 1 is Manifest as suit and Lovel 2 as delicates.

Countieres an ment progra

ОПРЕДЕЛЕНИЕ ЛИТОЛОГИЧЕСКОГО СОСТАВА ПОРОД СЛОЖНЫХ КОЛЛЕКТОРОВ



$$\rho_{maa} = \frac{\rho_b - \rho_{fl}\phi_{ta(N-D)}}{1 - \phi_{ta}}$$

$$U_{maa} = \frac{U - U_{fl}\phi_{ta(N-D)}}{1 - \phi_{ta(N-D)}}$$

	Fresh Mud	Salty Mud
ρfl	1.0	1.1
Ufl	0.4	1.36

Lithology Identification plot

Определение параметров матрицы

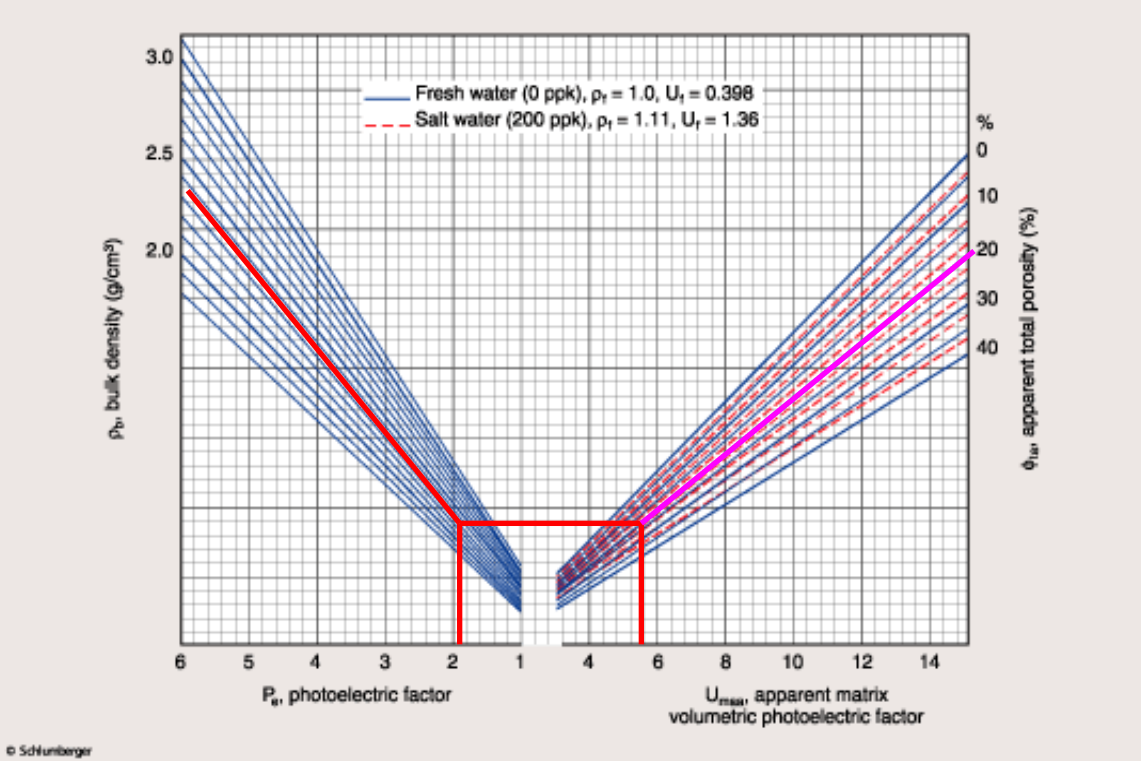
CHART CP-20

Crossplots for Porosity, Lithology and Saturation

Determination of Apparent Matrix Volumetric Photoelectric Factor





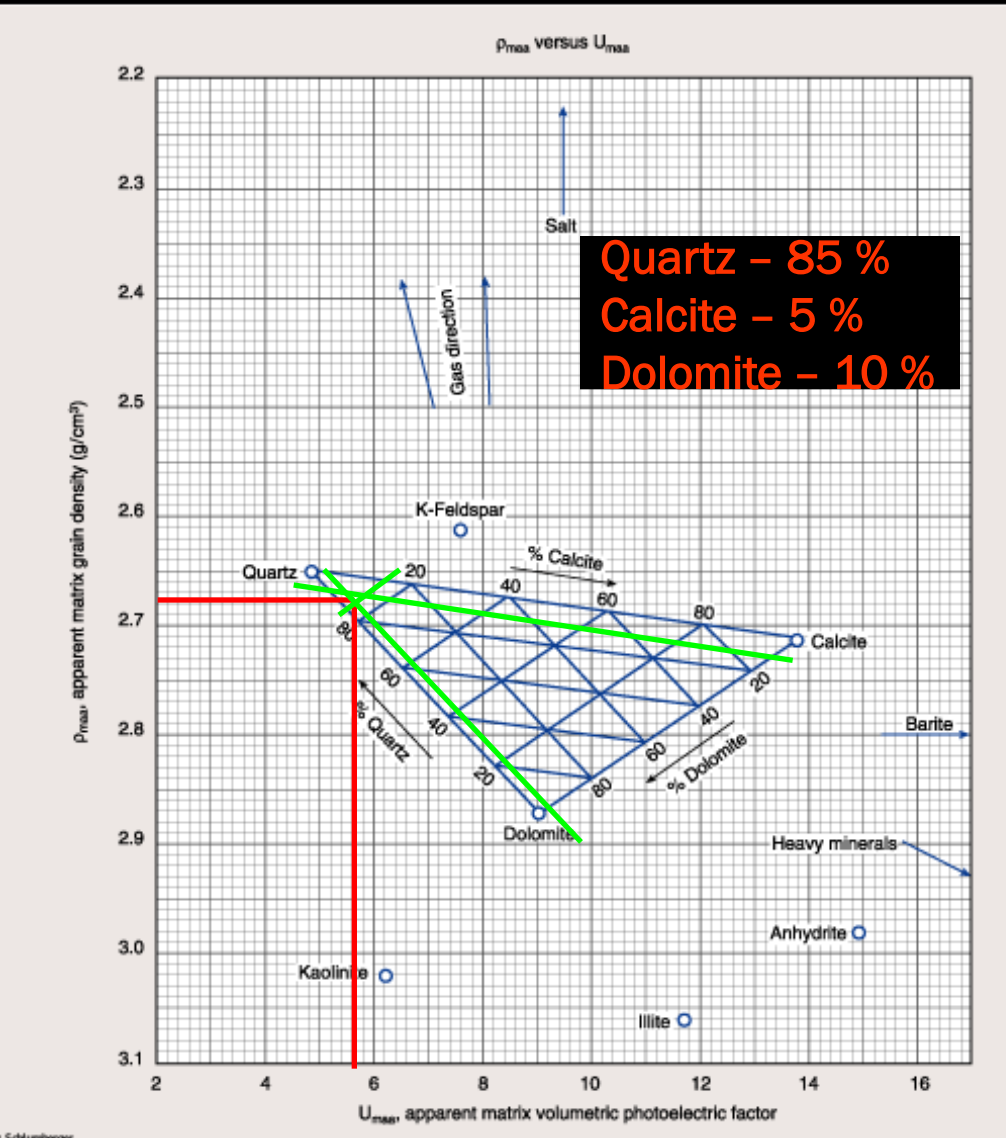


Umaa = 5.5

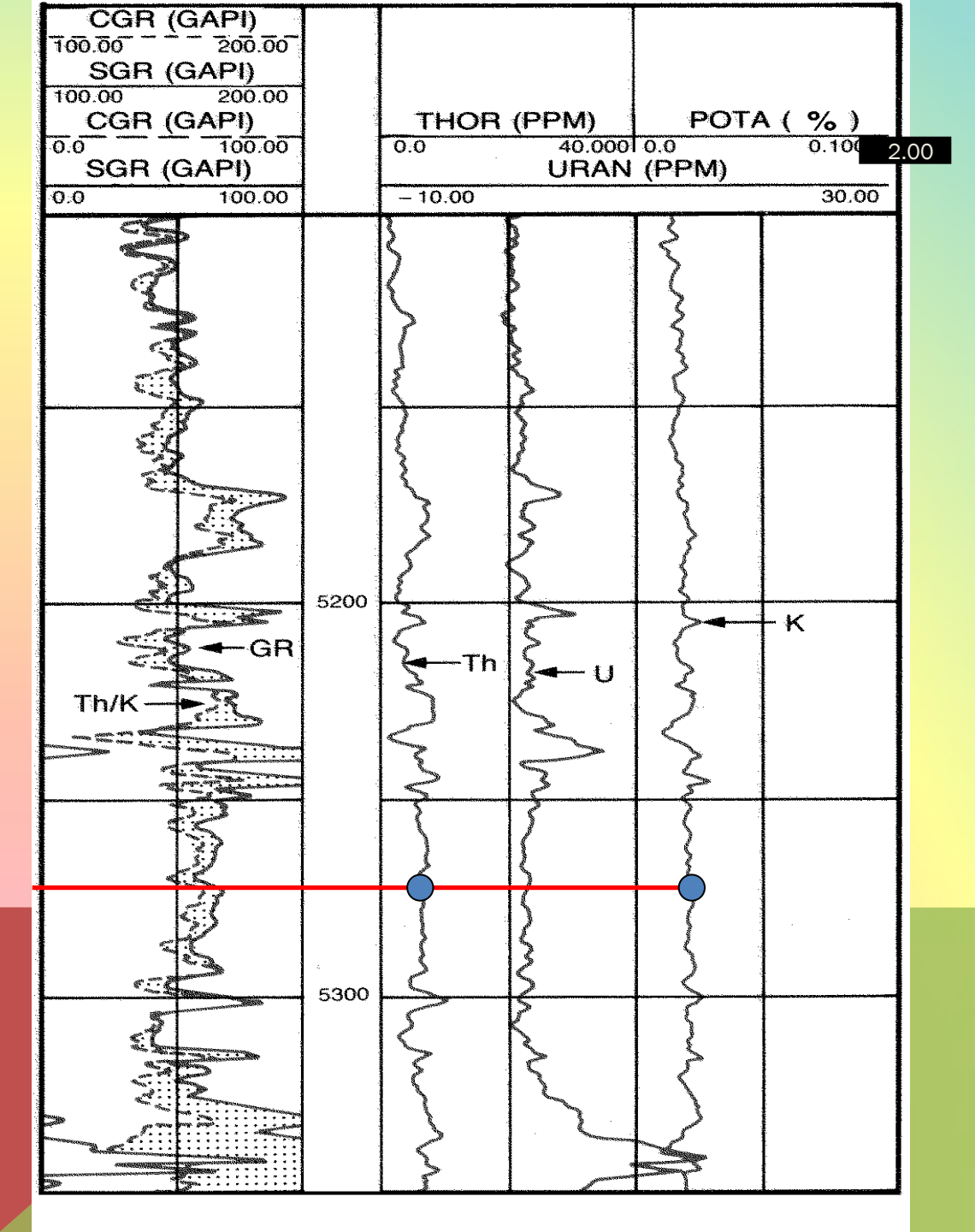
CP

Определение состава пород

CHART CP-21 Lithology Identification Plot



© Schlumberger

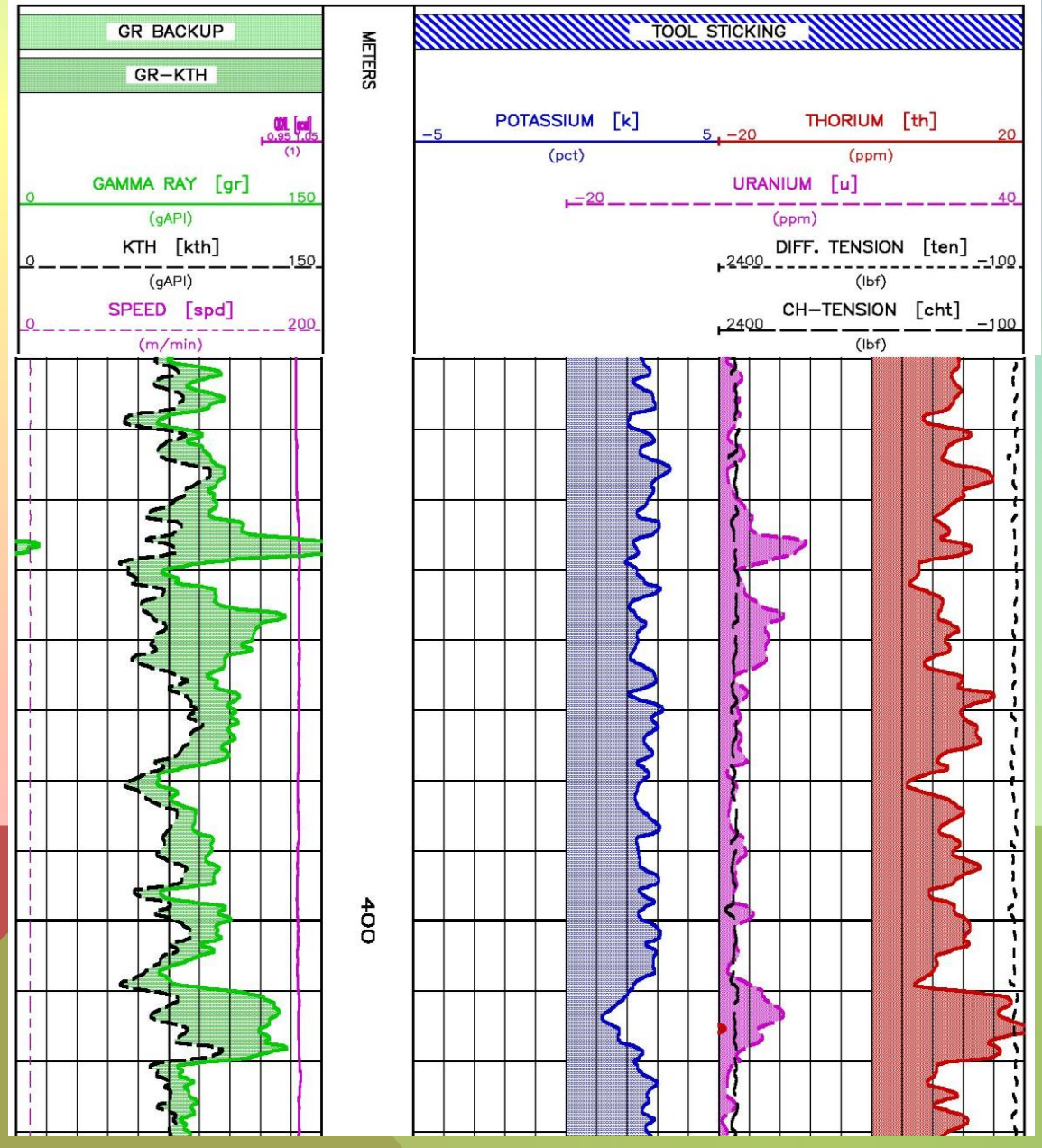


Типичный набор диаграмм гаммаспектрометрического каротажа

Natural Gamma Ray Spectrometry Log

> Th = 9500 ppm POTA = 0.40 %

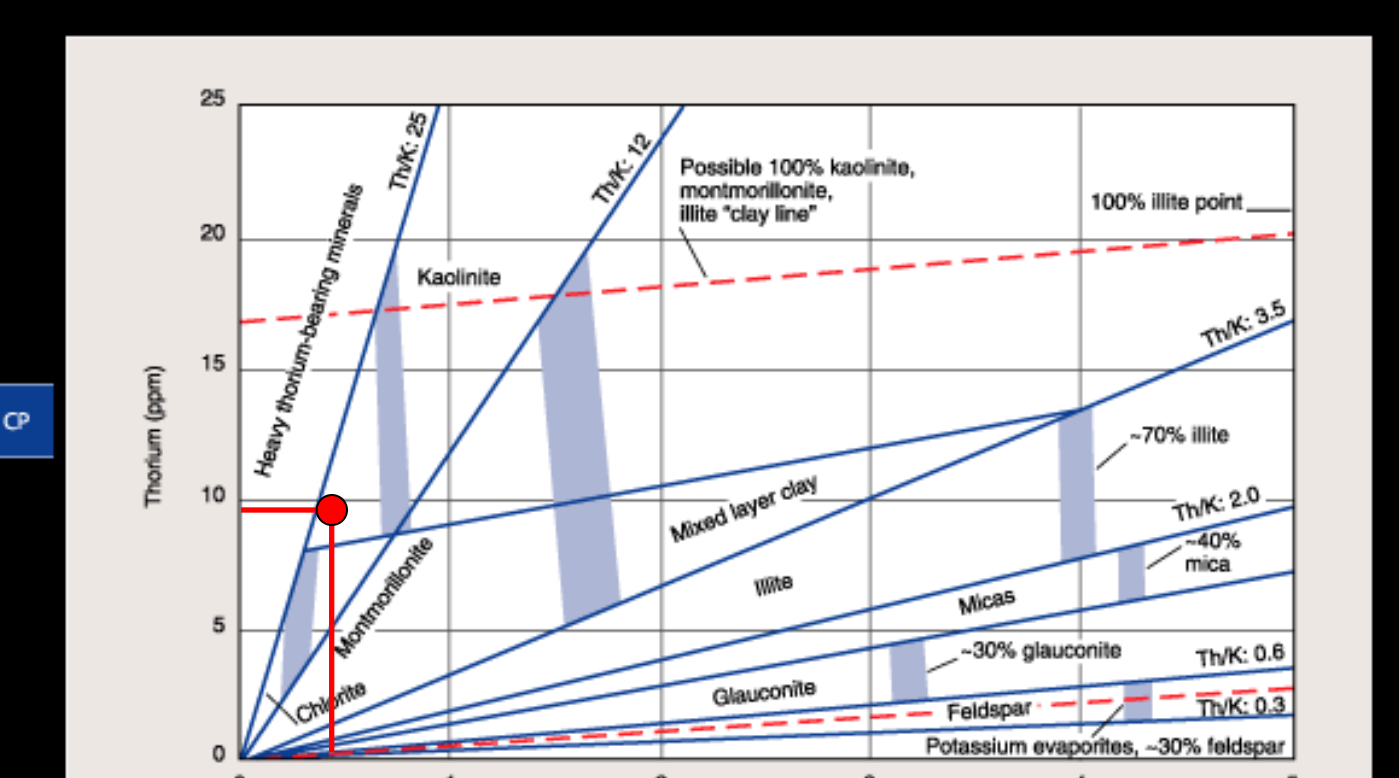
Пример диаграммы спектрального ГК



*Mark of Schlumberger © Schlumberger

Natural Gamma Ray Spectrometry

CHART CP-19



Potassium (%)

Radionalys minusis often cosm in minively small consumtions in self-mantary resist. Even similes (spically contain only 50 to 70% cadiosothes also misseals.

Unless there is a complex extense of radioactive minerals in the formation, Chaot CP-19 can be used to identify the mean somenan once. The ratio of thatien to unchen activity—the

thadran/ponestum rate, ThAS—door out way with minutel sonsonization. A sendstran measural: with varying emercute of skaliness, with illin as the principal slay minoral, usually place in the filin cognant of the chart, with Tk/E between 1.0 and 2.3. Less study peak of the conservate plat sings to the origin, and mants skally genits pliet allogen to this 70% fillin acce.

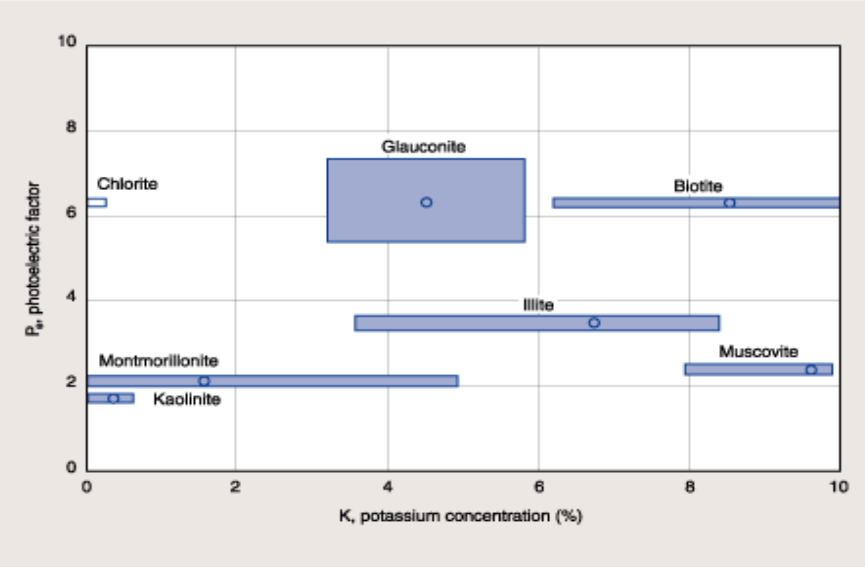
Litho-Density – Natural Gamma Ray Spectrometry

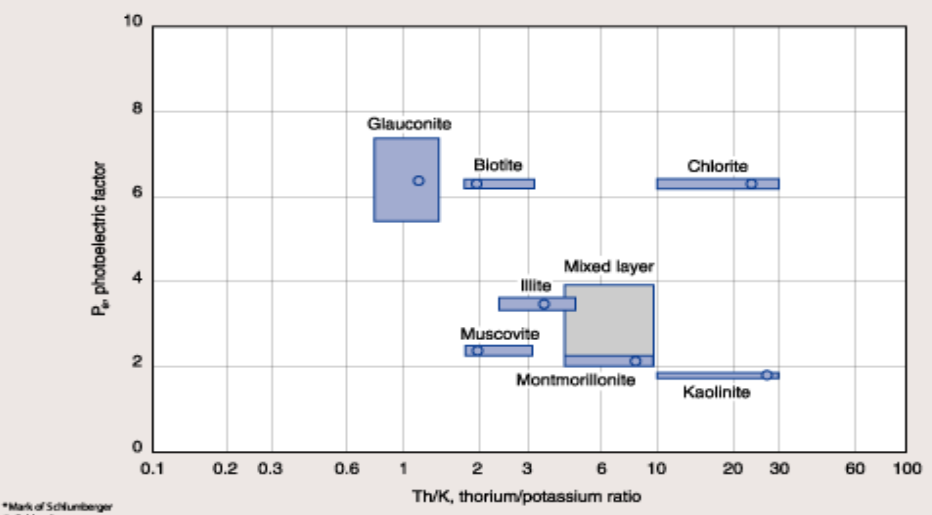
CHART CP-18 Crossplots for Porosity, Lithology and Saturation

Schlumbe

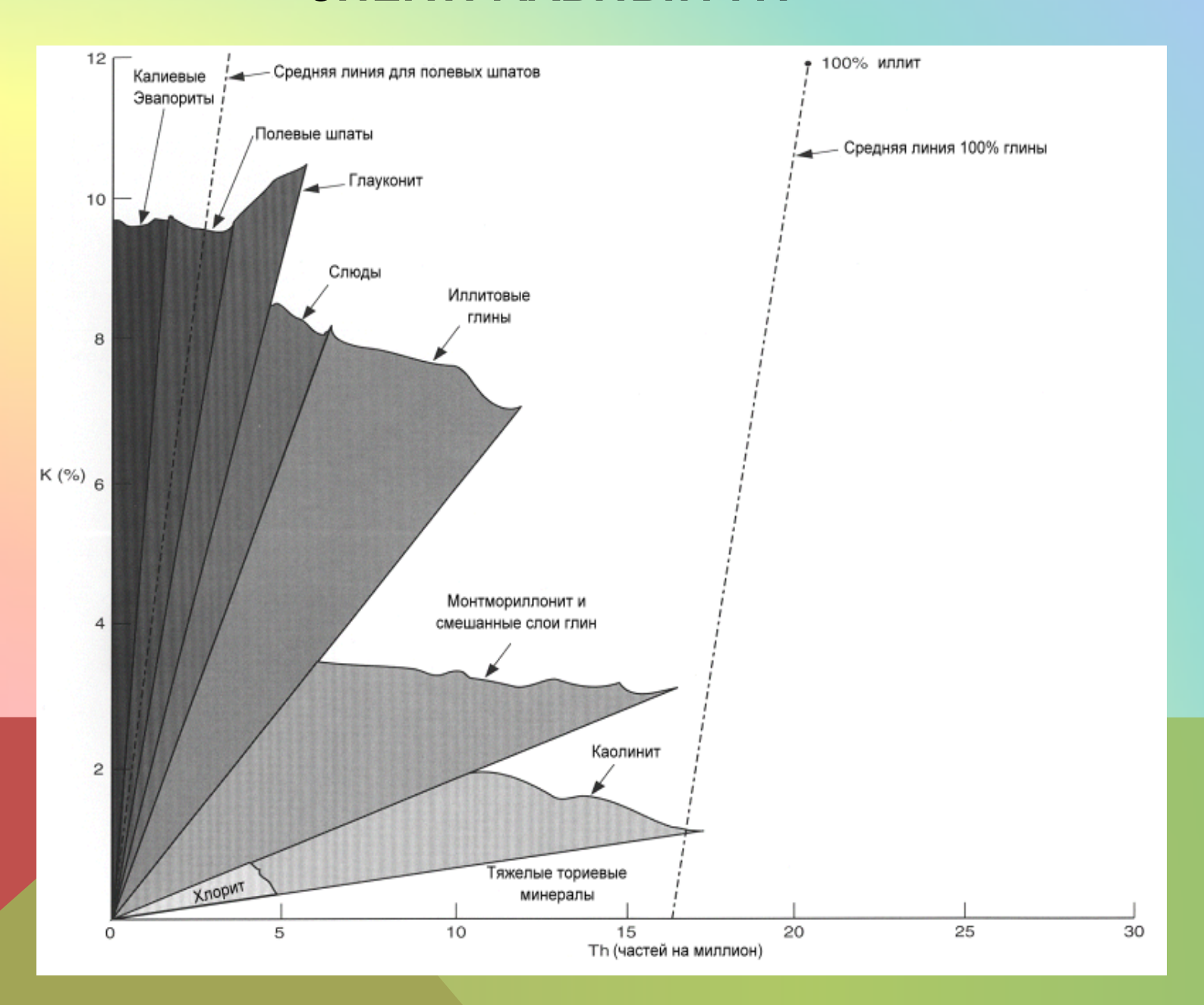
Mineral Identification from Litro-Density* Log and NGS* Natural Gamma Ray Spectrometry Log







СПЕКТРАЛЬНЫЙ ГК



КОЛИЧЕСТВЕННАЯ ИНТЕРПРЕТАЦИЯ ГИС

Определение пористости

Электрический каротаж

Плотностной каротаж

Нейтронный каротаж

Акустический каротаж

ЭЛЕКТРИЧЕСКИЙ КАРОТАЖ

Удельное сопротивление породы рвп, обладающей межзерновой пористостью, при 100%-м заполнении пор водой с удельным сопротивлением Рв оценивается соотношением

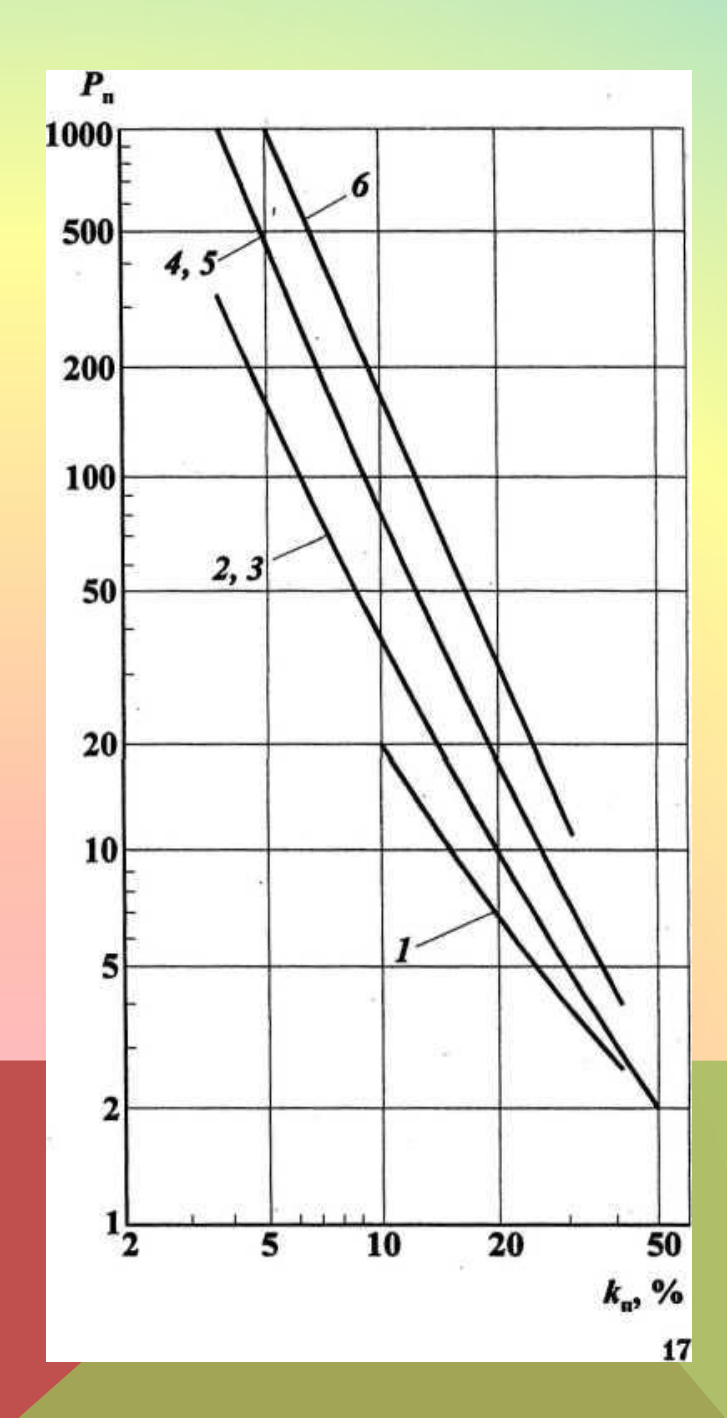
 $\rho_{\rm BH} = P_{\rm H} \, \rho_{\rm B}.$

Здесь P_{Π} - параметр пористости, связанный с общей пористостью породы k_{Π} эмпирической зависимостью $P_{\Pi} = a_m / k_{\Pi}^m$,

где a_m и m - константы для конкретного типа пород.

Для разных типов отложений a_m изменяется в пределах 0,4-1,0, τ = 1,3+2,2.

Структурный показатель m, характеризующий крутизну кривой, зависит от степени цементации и ряда других факторов, связанных с изменением типа, возраста и условий залегания горных пород.



Зависимость параметра пористости Рп = Рвп/Рв, от коэффициента пористости Кп для терригенных и карбонатных пород:

- 1 пески; 2 слабосцементированные песчаники;
- 3 -ракушняки и глинистые известняки;
- 4 среднесцементированные песчаники;
- 5-6 известняки и доломиты:
- 5 крупнокристаллические средней уплотненности,
- 6-плотные, тонкокристаллические

Пример. Оценить пределы изменения удельного сопротивления Рвп водонасыщенных песчаников девона одного из месторождений Башкирии, если известно, что пластовые воды имеют удельное сопротивление 0,046 Ом-м при t = 18 °C, а коэффициент пористости Кп., изменяется от 17 до 20 %.

Коллектор по типу относится к среднесцементированным.

В пластовых условиях t = 35 °C.

Для подсчета воспользуемся формулой $\rho_{\text{вп}} = P_{\text{п}} \, \rho_{\text{в}}.$

По графику рис. 1 найдем Рв = 0,033 Ом-м; Рп для среднесцементированных коллекторов колеблется от 31 до 16,5. Следовательно, удельное сопротивление песчаников варьирует в следующих пределах: Рвп = $(16.5 \div 31)0.033 = 0.55 \div 1.00$ Омм.

В сложных карбонатных коллекторах кроме межзерновых пор (Кпмз) присутствуют также трещины, каверны и крупные пустоты выщелачивания, которые часто называются вторичными порами.

Кроме карбонатов, к породам со сложным (смешанным) типом пористости относятся некоторые терригенные и вулканогенные породы. Коэффициент общей пористости таких пород

$$k_{\text{п.общ}} = k_{\text{пм3}}(1 - k_{\text{пвт}}) + k_{\text{пвт}},$$

а коэффициент вторичной пористости *Кпвт* является суммой коэффициентов трещинной *КпТ* и каверновой К*пк* пористости.

В породе со смешанным типом пористости различают блоки с межзерновыми порами и систему вторичных пор.

Простейшей породой со смешанной пористостью является трещинномежзерновая порода с пористостью блоков Кпбл= Кптз и коэффициентом трещиноватости КпТ.

$$P_{\text{nt}} = \rho_{\text{впт}}/\rho_{\text{в}} = P_{\text{пбл}}/(P_{\text{пбл}} k_{\text{пт}} A + 1),$$

Параметр пористости *Рпт* и Рвпт такой породы при насыщении трещин и блоков водой с удельным сопротивлением Рв определяется формулой

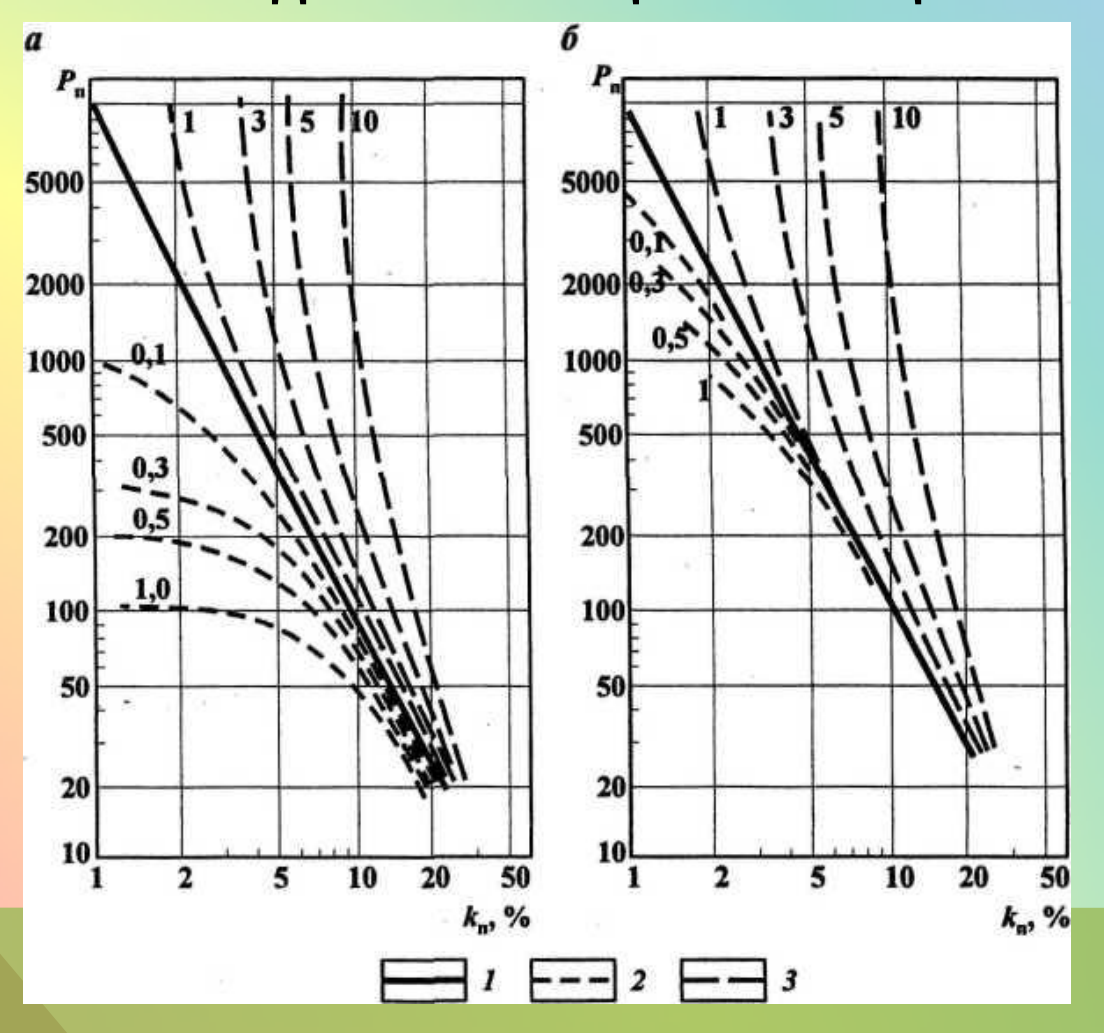
$$\rho_{\text{BII}} = P_{\text{II}} \, \rho_{\text{B}}.$$

- где Рпбл параметр пористости блоков, рассчитываемый по формуле Кпбл = = Кпмз для заданной межзерновой пористости блоков
- А коэффициент, величина которого зависит от ориентации трещин относительно направления, в котором измеряется удельное сопротивление.

Значения коэффициента A для трещинных пород с различными направлениями трещиноватости [3]

Модель	ль Характеристика модели трещинно-межзерновой породы	
a	Все трещины расположены перпендикулярно к направлению измерения $\rho_{впт} = \rho_{впбл}$	0
6	Все трещины расположены параллельно к направлению измерения $\rho_{\text{впт}}$	1
в	Трещины образуют две системы, величина $k_{n\tau}$ разделена между ними поровну; одна система ориентирована параллельно измерению $\rho_{вn\tau}$, другая – перпендикулярно	1/2
г	Трещины образуют три взаимно перпендикулярные системы с распределением между ними значения $k_{n\tau}$ равными долями	2/3

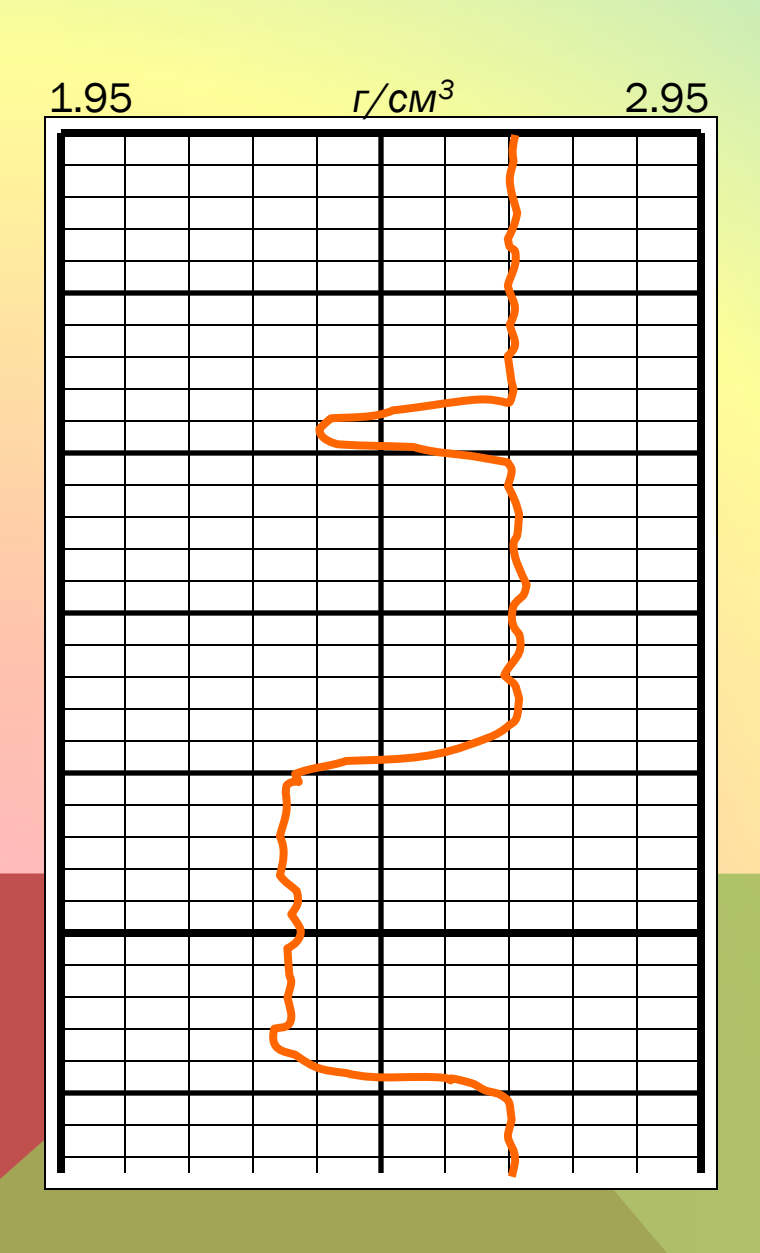
ЗАВИСИМОСТИ ПАРАМЕТРА ПОРИСТОСТИ ТРЕЩИННЫХ И КАВЕРНОЗНЫХ ПОРОД ОТ КОЭФФИЦИЕНТА ОБЩЕЙ ПОРИСТОСТИ



а - все поры заполнены пластовой водой р,; б - трещины и каверны заполнены водой Рф = 10 Рв, а межзерновые поры - водой Рв; кривые для коллекторов:

1 -межзерновых, 2 - трещинных (шифр кривых - *kвт*), 3 - кавернозных (шифр кривых - Кпк)

Пористость по плотностному методу



Глины

Песчаник

Глины

Песчаник

Глины

Общая плотность
$$\rho_{o}$$
 =

Объем флюида х Плотность Флюида

Объем породы х Плотность Породы

$$= (\mathcal{P}_{\oplus} \mathbf{x} \mathscr{D}) + (\mathcal{P}_{CK} \mathbf{x} (1 - \mathscr{D}))$$

$$\beta = \frac{\rho_{ck} - \rho_{o}}{\rho_{ck} - \rho_{\phi}}$$

Плотность песчаника = 2.65 Плотность воды = 1.0

Плотность -> пористость = %

ОПРЕДЕЛЕНИЕ КОЭФФИЦИЕНТА ПОРИСТОСТИ ПО НЕЙТРОННОМУ КАРОТАЖУ

Поскольку показания НГК зависят от полного водородо-хлоросодержания породы, включая содержание кристаллизационной воды и воды, адсорбированной глинистой частью породы, то наиболее точные результаты по определению пористости получаются в карбонатных отложениях.

При количественной интерпретации диаграмм НГК величина интенсивности I_{nv} , снятая против изучаемого пласта, непосредственно не используется.

Причиной этого являются отсутствие строгой эталонировки радиометров и наличие сторонних излучений от самого источника нейтронов и рассеянного гамма-излучения, которые очень трудно учесть полностью.

ОПРЕДЕЛЕНИЕ КОЭФФИЦИЕНТА ПОРИСТОСТИ.

Интерпретация проводится по относительной амплитуде аномалии НГК ("двойной разностный параметр") для данного пласта: где I_{ny}^{\times} - интенсивность аномалии НТК против исследуемого пласта;

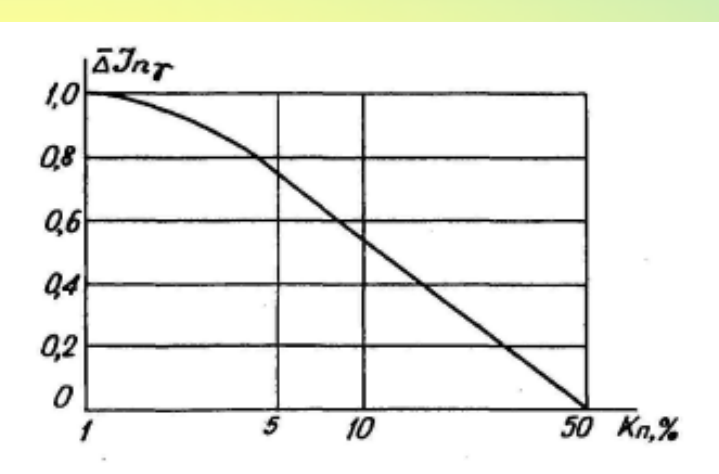
 $\overline{\Delta}I_{ny} = \frac{\Delta I_{ny}^{x}}{\Delta I_{ny}^{on}} = \frac{I_{ny}^{x} - I_{ny}^{lon}}{I_{ny}^{llon} - I_{ny}^{lon}},$

I^{lon}_{ny} - интенсивность против первого опорного горизонта, за который принимается обычно пласт глин с известным содержанием водорода (40%);

Illon принимается какая-либо из плотных пород разреза с известной пористостью (1%).

Все величины 1_{ny} входящие в формулу, должны быть предварительно исправлены за влияние скважины, обсадных труб, хлорсодержания и естественной радиоактивности.

ОПРЕДЕЛЕНИЕ КОЭФФИЦИЕНТА ПОРИСТОСТИ.



По относительной амплитуде $_{\Delta}I_{n\gamma}$ и определяют коэффициент пористости по номограмме $_{\Delta}I_{n\nu}=f(K_{n})$,

Рис. 13.8. Зависимость показаний НГК (двойной разностный параметр) от пористости пород

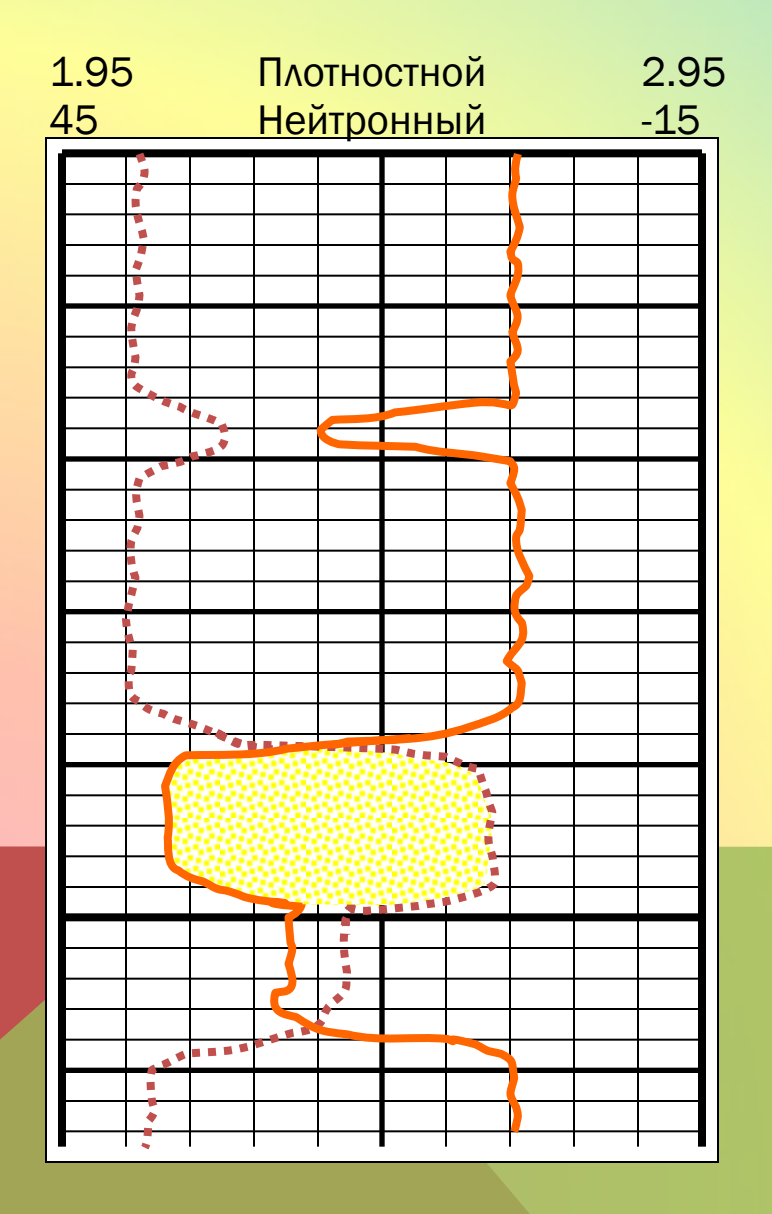
Такие номограммы строятся по экспериментальным данным.

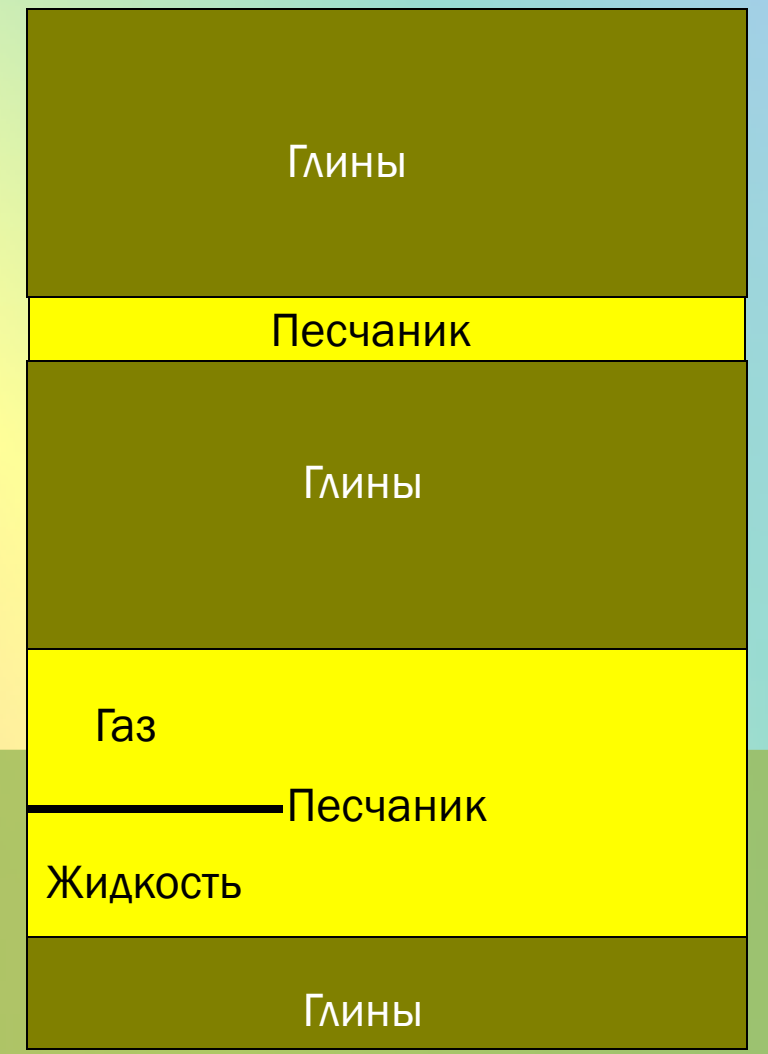
При определении по этой методике пористости песчаных коллекторов учитывают их глинистость, вводя поправку: $\Delta K_{,,} = C_{I} \wedge *O_{,} + A_{,}$

где Сгл - объемная глинистость коллектора, % (определяется по ГК или лабораторным исследованиям);

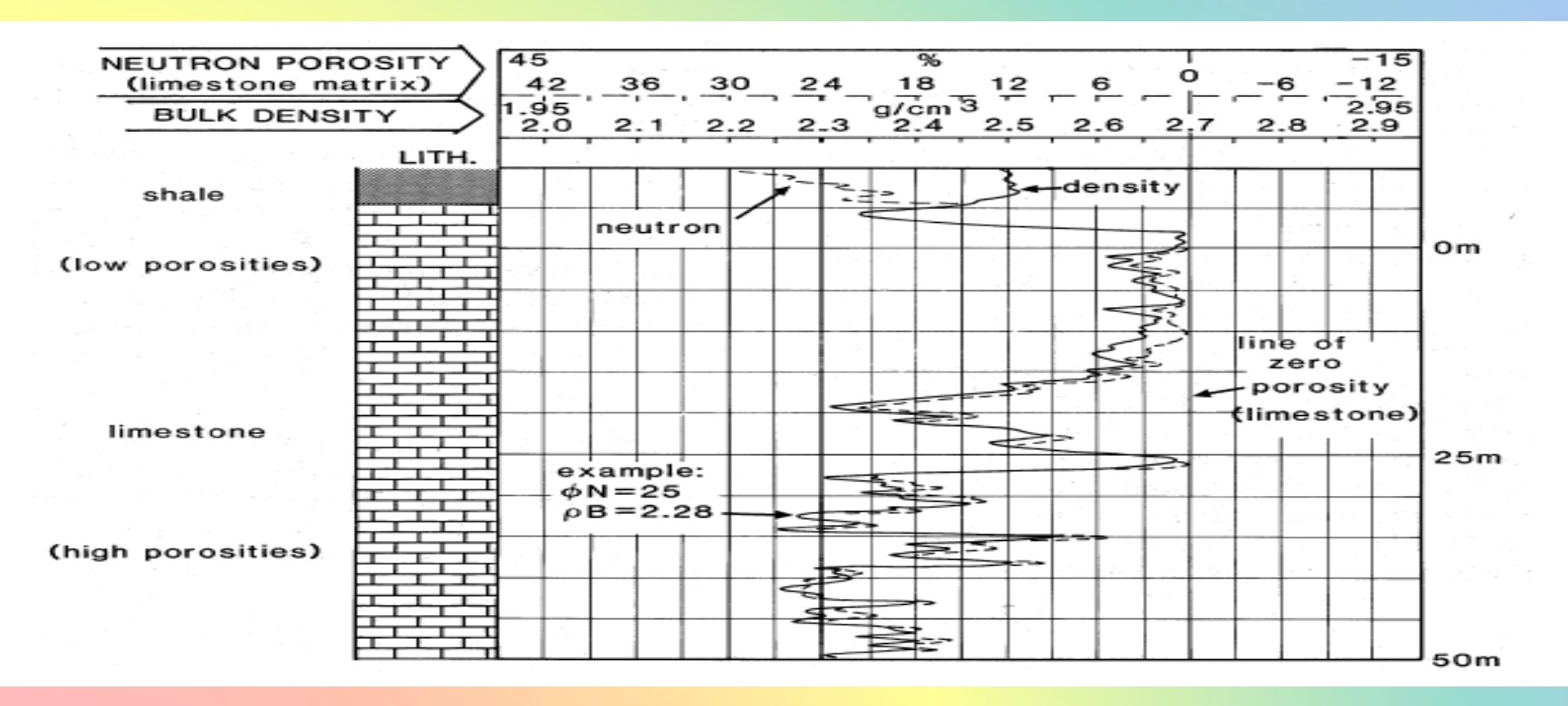
0,4 - содержание воды в глине (40%), (объемное).

Плотностной и нейтронный





Совместное изображение данных плотностного и нейтронного каротажа для известняка



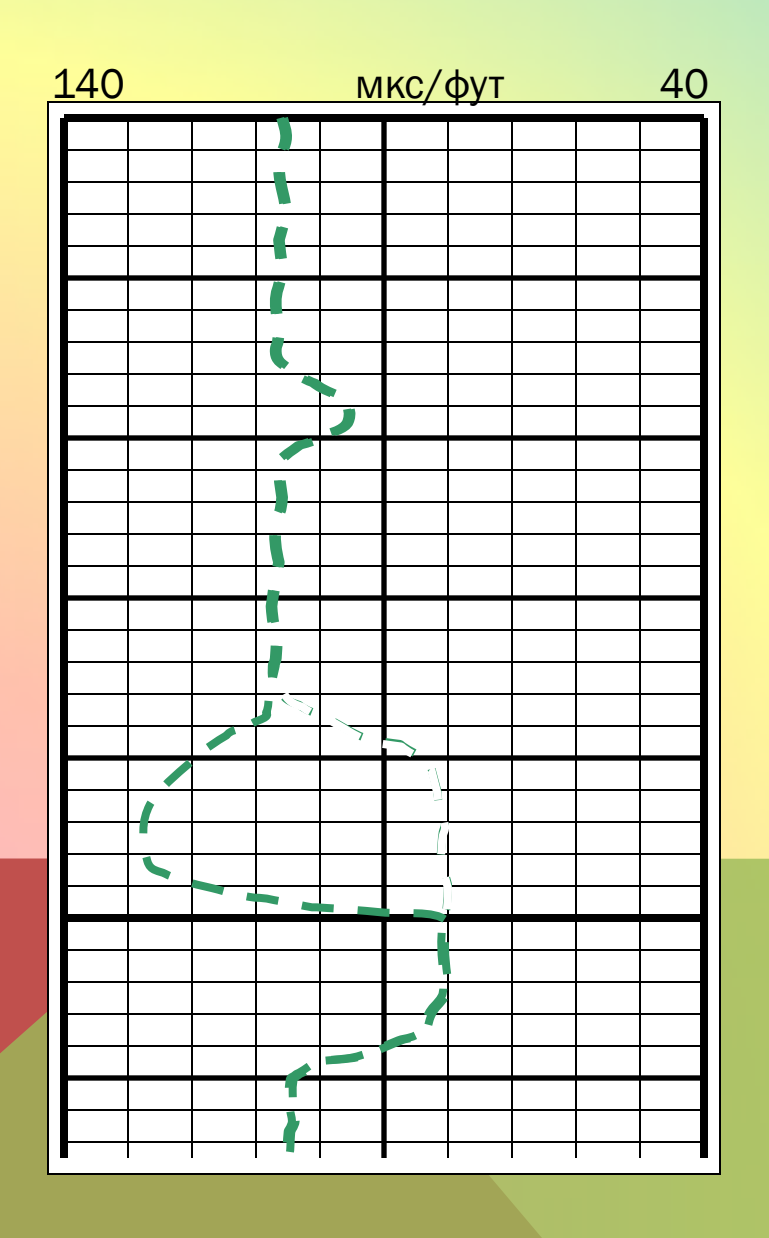
Нейтронный метод – хороший индикатор пористости в низкопористых карбонатах

АКУСТИЧЕСКИЙ МЕТОД

Измеряет скорость звука в пласте в микросекундах на фут (метр)

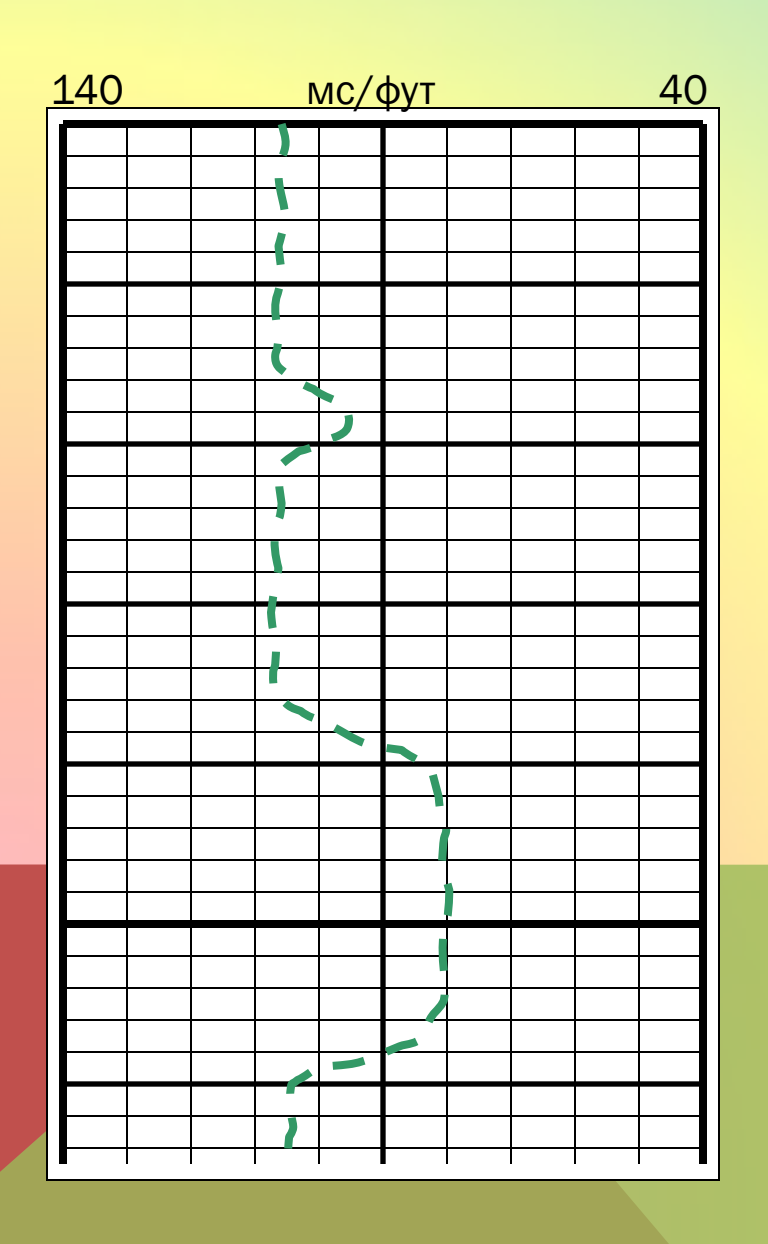
- Каждый тип породы имеет ⊿Т в диапазоне 40-70 мкс/фут (140-220мкс/м)
- Флюиды имеют гораздо более высокую ДТ: 180-230 мкс/фут (550-650 мкс/м), газ еще больше.
- Привязывает сейсмические глубины во времени к каротажным глубинам
 - Используется для определения пористости и литологии

Акустический метод





Пористость по акустике



Глины

Песчаник

Глины

Песчаник

Глины

Зарегистрированная $\Delta T =$

Объем Флюида х ДТ флюида

Объем Породы х ДТ скелета

$$= (\Delta T_{\phi} \times \cancel{\phi}) + (\Delta T_{CK} \times (1-\cancel{\phi}))$$

 Δ Т песчаника = 55 мкс/фут Δ Т воды = 189 мкс/фут

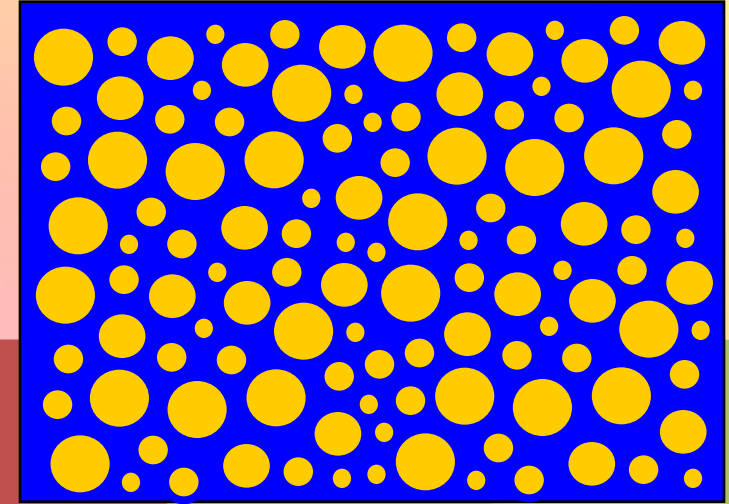
 ΔT -> Пористость = %

Уравнение Арчи для «чистого песка»

$$Ro = \frac{a \cdot Rw}{\varphi^{m}} \sum_{Sw^{n} = \frac{a \cdot Rw}{\varphi^{m} Rt}} \sum_{Sw^{n} = \frac{Ro}{Rw}} Sw^{n} = \frac{Ro}{Rw}$$



Водонасыщенный песок, Ro

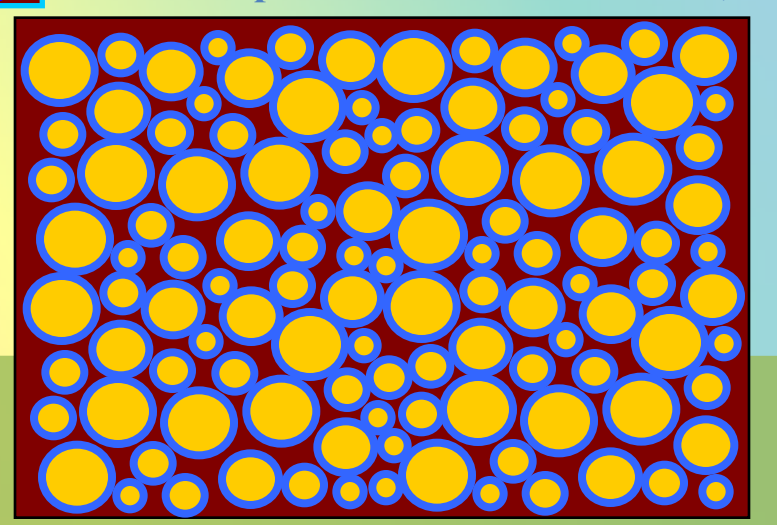


 $\varphi = \mathbf{N}$ ористость

m = Экспонента сцементированности n = Экспонента насышенности

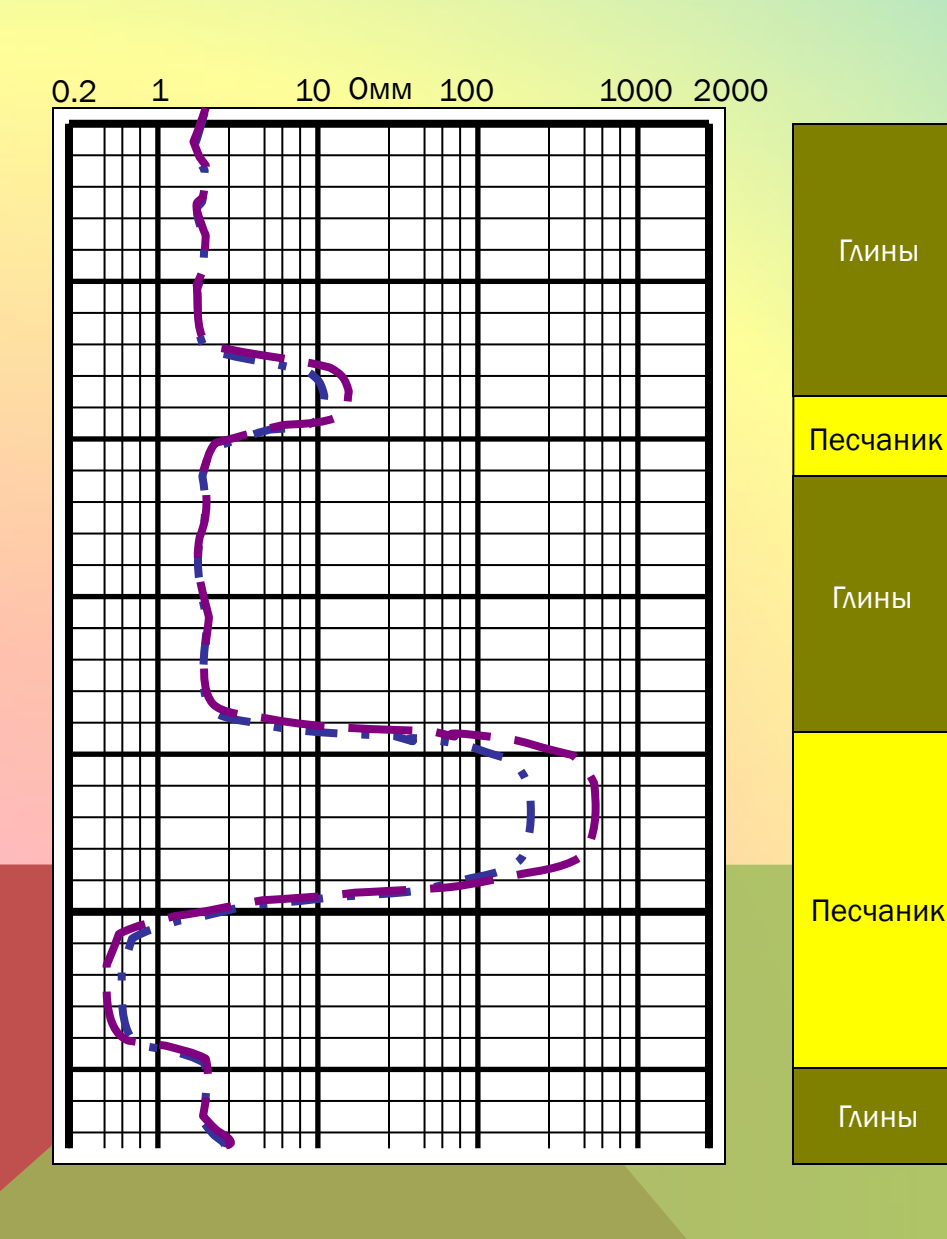


Углеводородонасыщенный песок, Rt



Rw = **Coпротивление** воды **Sw** = **Boдонасыщенность**

Сопротивление



Основное уравнение насыщенности Дахнова - Арчи:

$$S_w^n = \frac{a \times R_w}{\mathscr{A}^m \times Rt}$$

 S_W = водонасыщенность

 R_{w} = сопротивление воды в пласте

 R_{t} = сопротивление пласта

 β = пористость

а, m, n - константы

(принятые значения a=1, m=2, n=2)

Пример: пористость = 0.26 (26%)

$$S_{w} = 100\%$$

 R_w = (при пластовой температуре)

$$S_w = \%$$

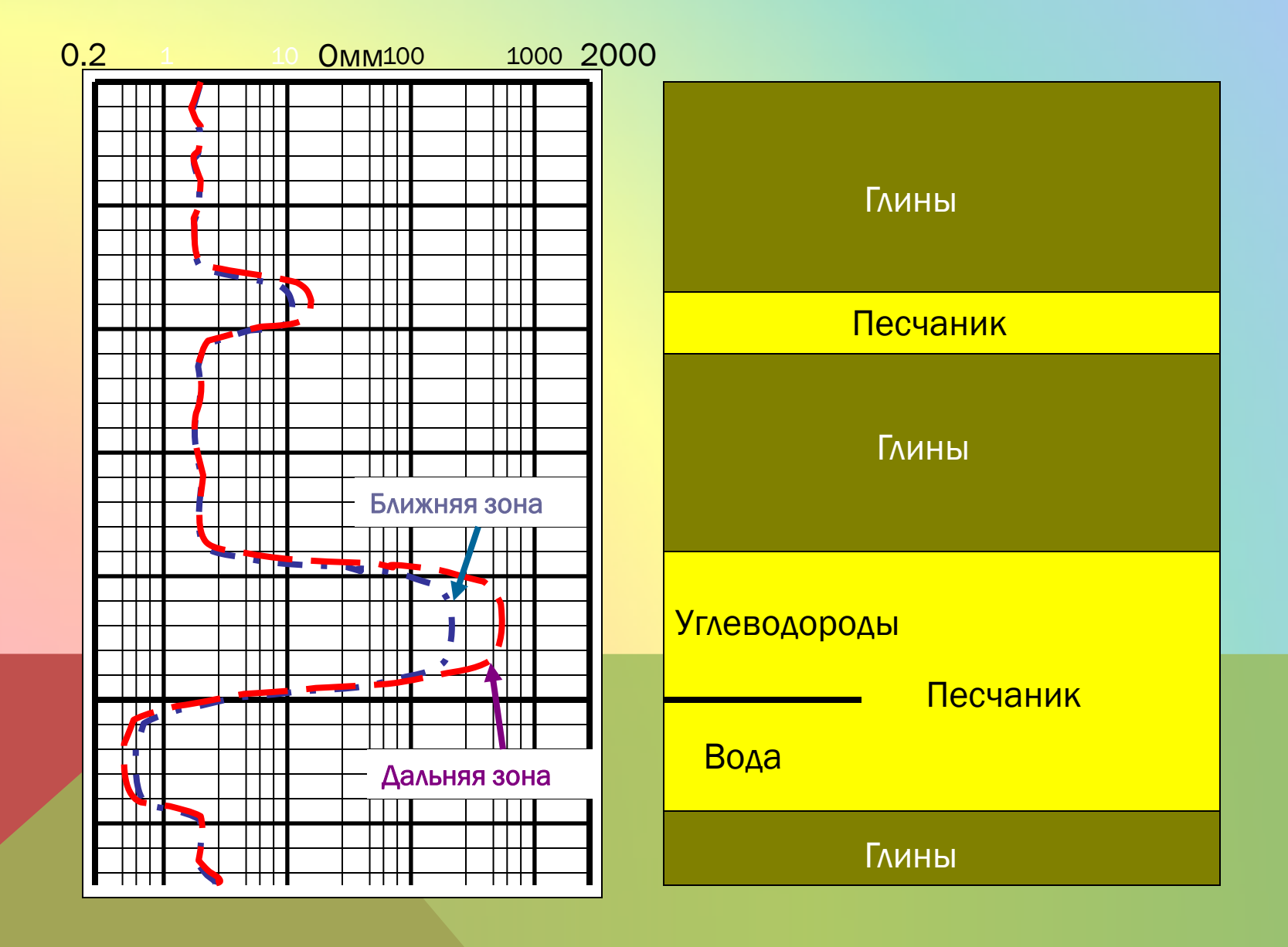
ОПРЕДЕЛЕНИЕ ФЛЮИДОНАСЫЩЕННОСТИ

СОПРОТИВЛЕНИЕ

Измеряет электрическую проводимость, возникающую из-за:

- Воды в поровом пространстве
- Связанной воды в глинах
- Индукционный каротаж препочтительнее проводить при пресном буровом растворе и растворах на нефтяной основе.
- Боковой каротаж работает при соленых буровых растворах.
- Углеводороды не проводят ток.
- Определение степени проникновения.

Сопротивление



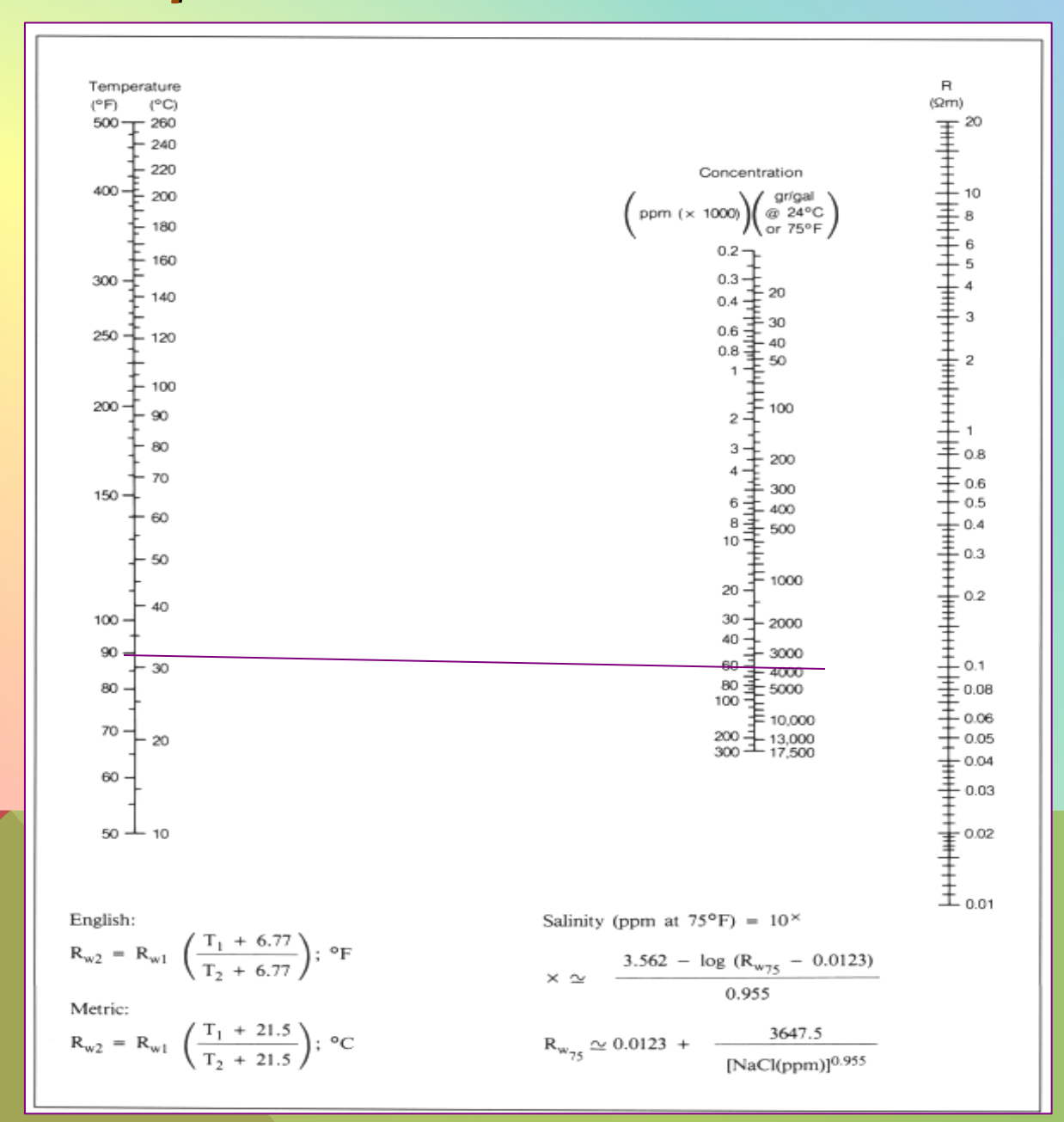
СОПРОТИВЛЕНИЕ ВОДЫ

- Сопротивление зависит от температуры
 - Выше температура = ниже сопротивление

$$R_{T2} = R_{T1} (T1 + 7)$$
 (Градусы по F +21.5 по C)

- Сопротивление зависит от минерализации
 - Выше минерализация = ниже сопротивление

Сопротивление воды



ВЛИЯНИЕ ГЛИНИСТОСТИ

Общая пористость включает воду, связанную в глине

Эффективная пористость включает поправку за глинистость (для учёта связанной воды)

- Уравнение Дахнова Арчи не учитывает проводимость глины
- Существуют другие уравнения
 - Двойной воды
 - Индонезийское
 - Ваксмана Смита
 - Симанду

» ид.р.

Определение глинистости

$$V_{sh} \le \frac{CGR - CGR_{(Clean - Sandstone)}}{CGR_{(Shale)} - CGR_{(Clean - Sandstone)}}$$

NGS

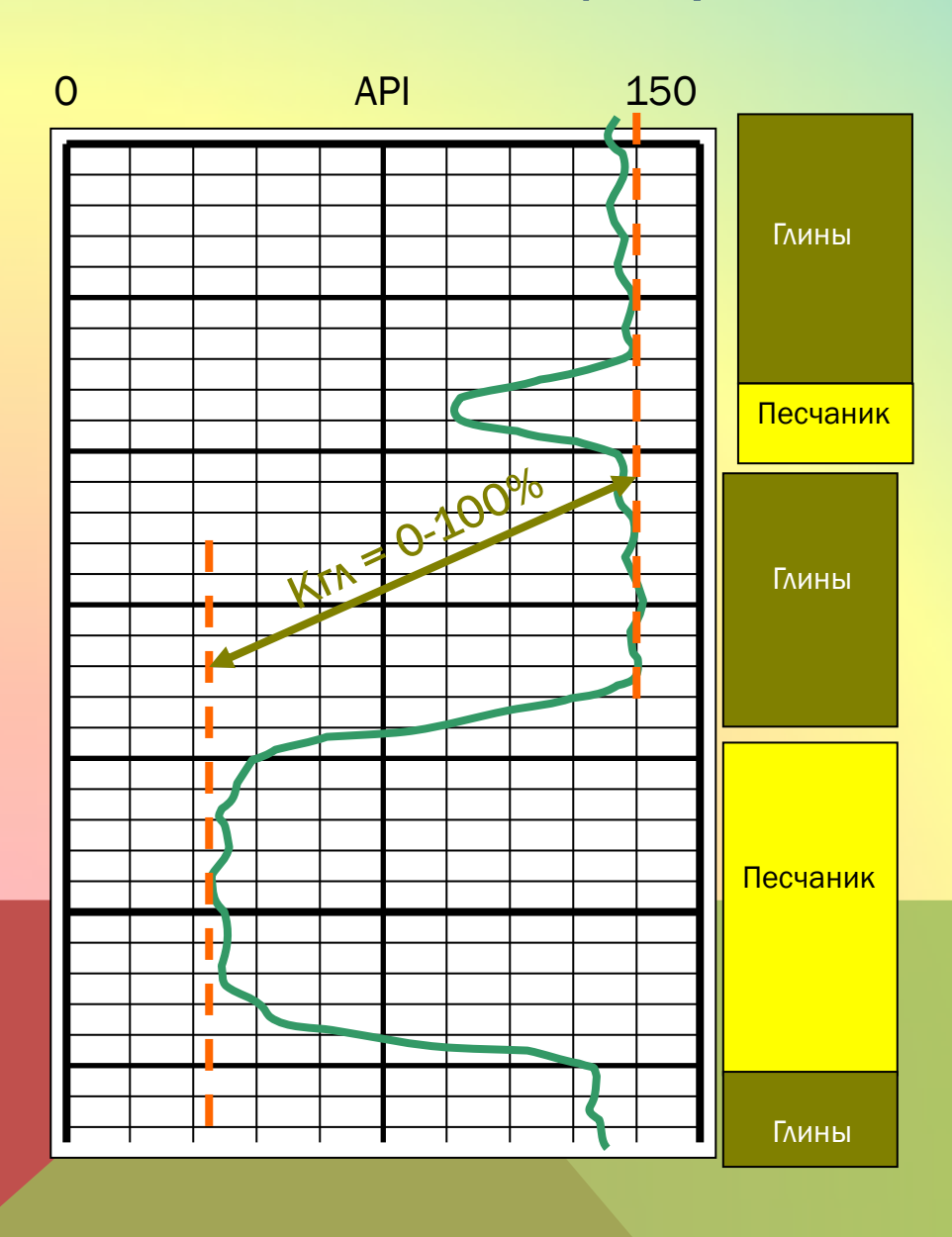
$$V_{Sh} \le 1 - \frac{ASP}{SSP}$$

SP

$$V_{sh} \leq \frac{U - (1 - \phi_{DN})U_{maa}}{U_{sh} - U_{maa}}.$$

Density PEF Response

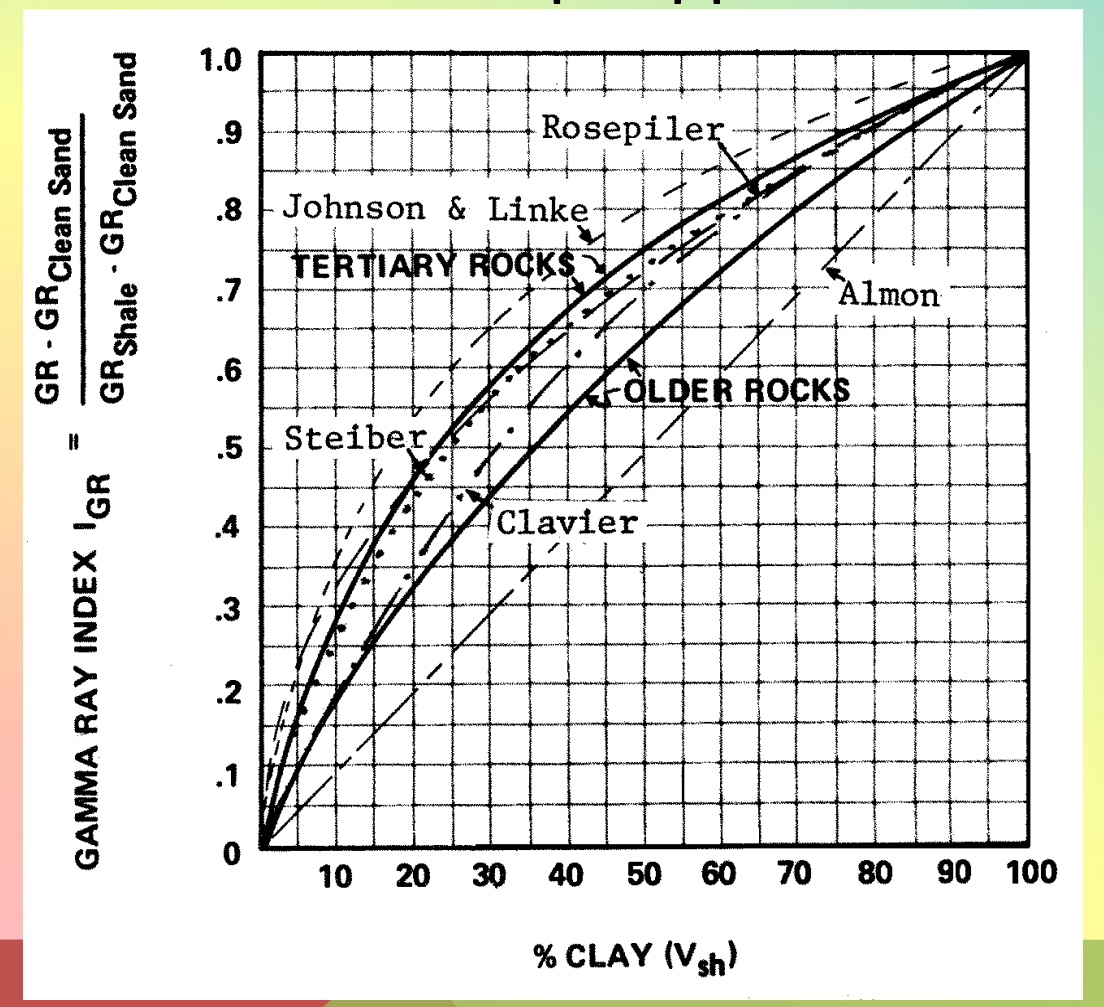
Глинистость Vsh (Кгл)



- 1) Определите показания ГК в глинах
- 2) Определите показания ГК в чистых породах
- 3) Посчитайте

$$K_{\Gamma\Lambda} = \frac{\Gamma K_{\text{изм}} - \Gamma K_{\text{песч}}}{\Gamma K_{\Gamma\Lambda} - \Gamma K_{\text{песч}}}$$

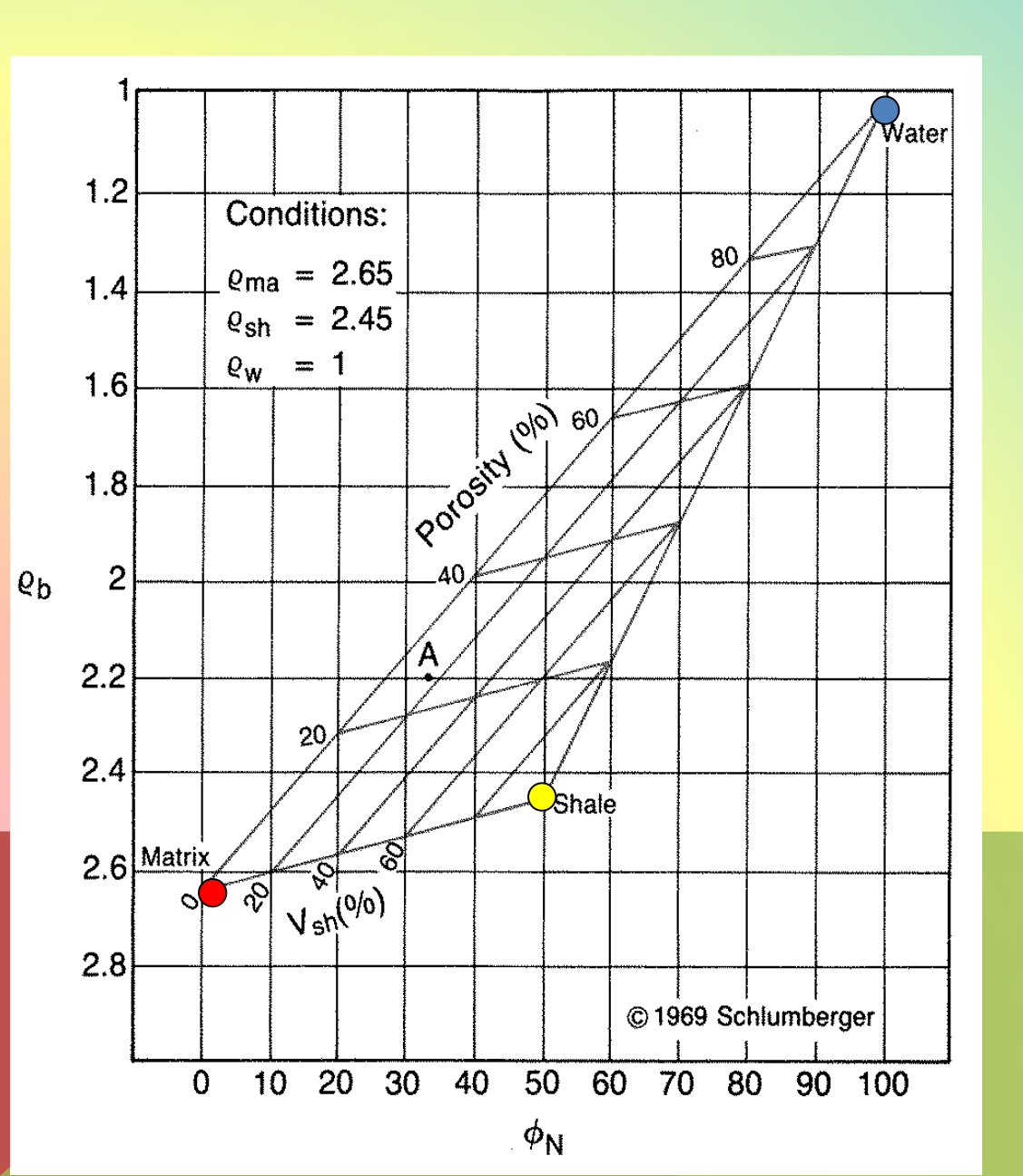
ИНТЕРПРЕТАЦИЯ ДАННЫХ ГИС



Определение глинистости по гамма каротажу

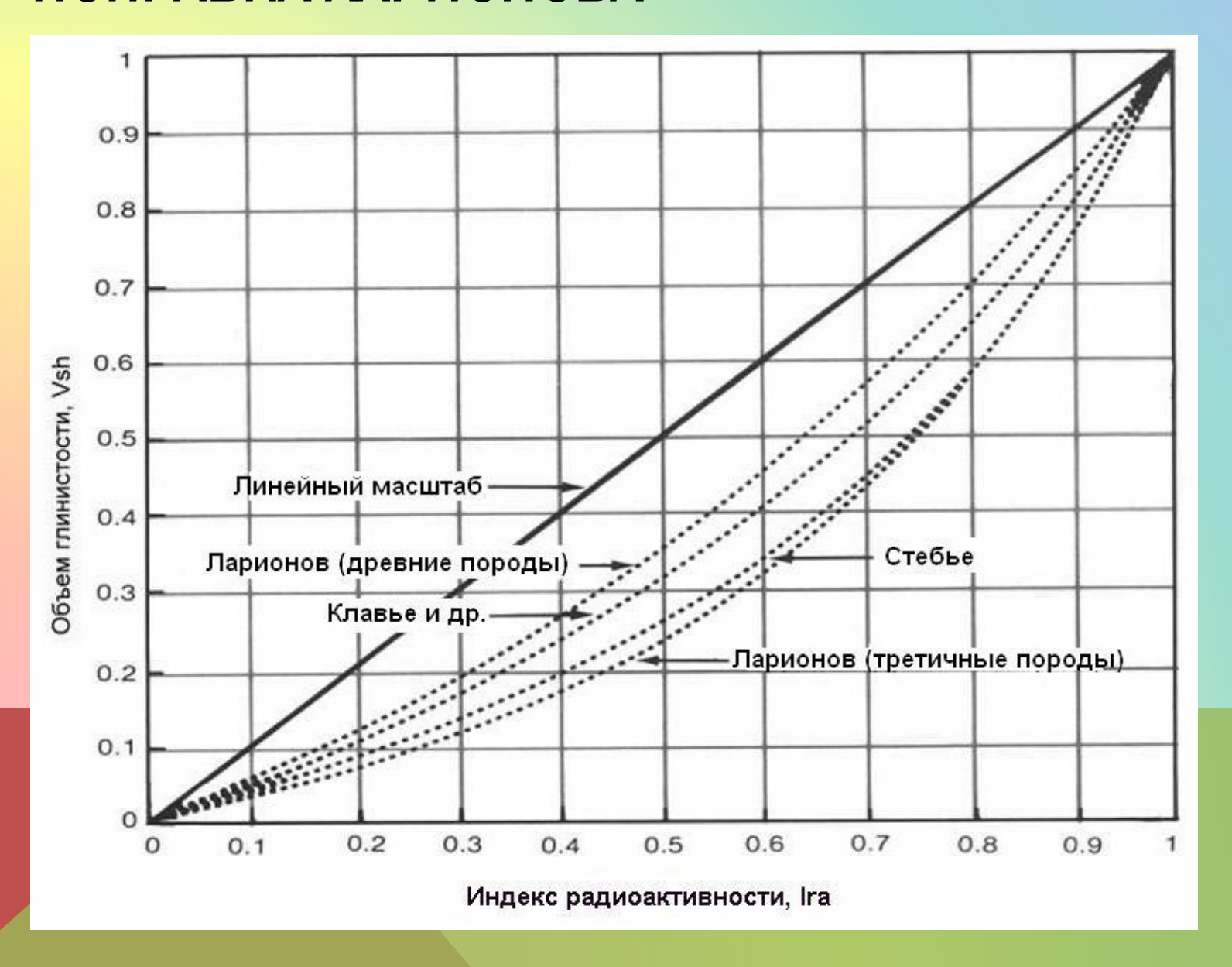
$$I_{GR} = \frac{GR - GR_{(Clean - Sandstone)}}{GR_{(Shale)} - GR_{(Clean - Sandstone)}}$$

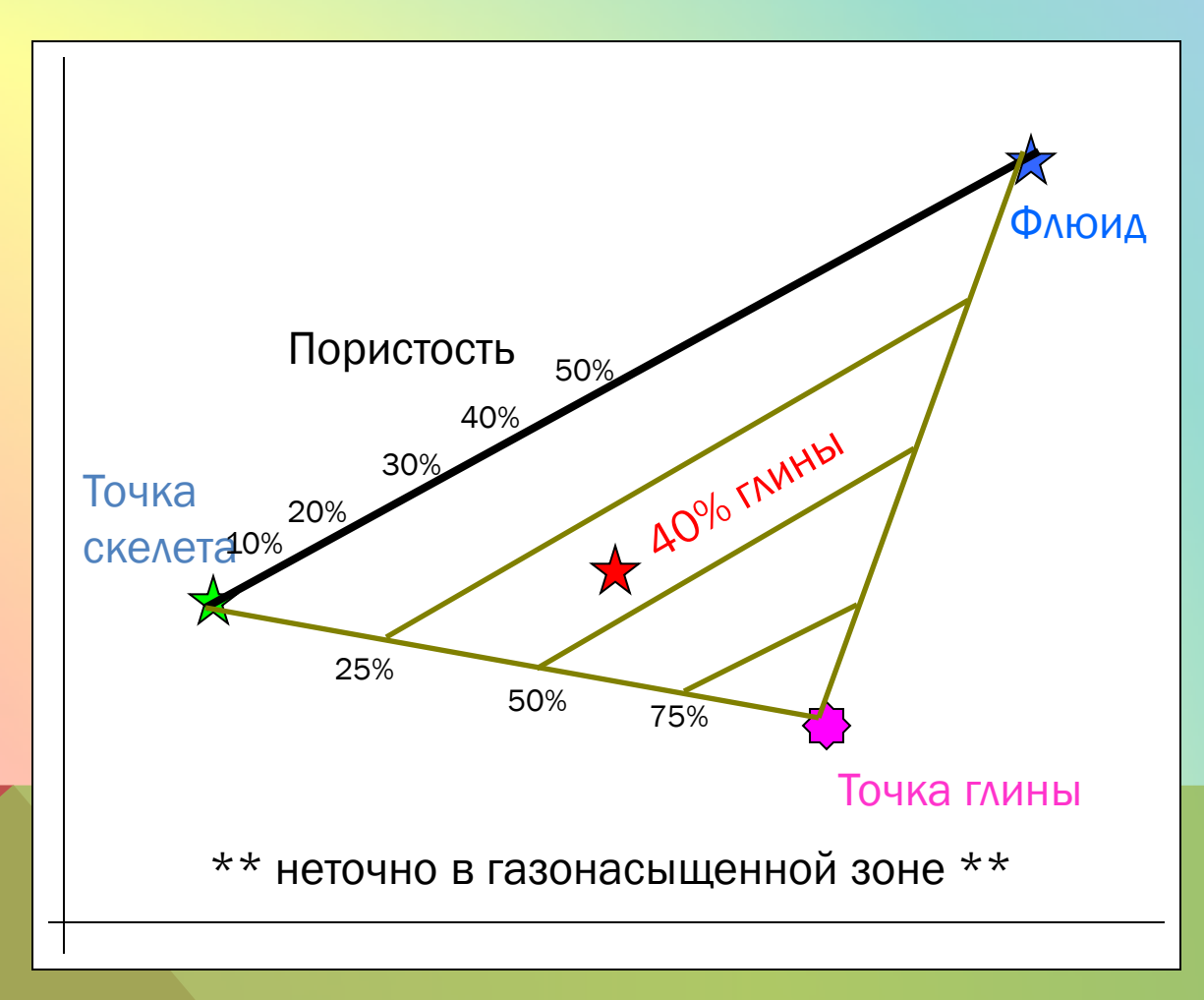
ВЛИЯНИЕ ГЛИНИСТОСТИ НА ПОРИСТОСТЬ



Neutron - Density
Cross-plot with the
Shale point Scaled

ПОПРАВКА ЛАРИОНОВА





КОРРЕКЦИЯ ДАННЫХ ГИС ЗА ГЛИНИСТОСТЬ

Neutron

$$\phi_{Nclean} = \frac{\phi_N - \phi_{Nsh} \cdot V_{sh}}{1 - V_{sh}}$$

Density

$$\rho_{bclean} = \frac{\rho_b - \rho_{sh} \cdot V_{sh}}{1 - V_{sh}}$$

Sonic

$$\Delta t_{clean} = \frac{\Delta t - \Delta t_{sh} \cdot V_{sh}}{1 - V_{sh}}$$

ПРОНИЦАЕМОСТЬ

Анализ керна

Опробование пласта на трубах

Опробование пласта приборами на кабеле

Расчет по пористости

Ядерно-магнитный резонанс

Акустические волны Стоунли

КОНТРОЛЬНЫЕ ВОПРОСЫ

- 1. Задачи и последовательность количественной интерпретации ГИС
- 2. Методы определения пористости по данным ГИС
- 3. Методы определения флюидонасыщенности по данным гис
- 4. Методы определения глинистости по данным ГИС
- 5. Уравнение Арчи. Практическое применение
- 6. Понятие кросс-плотов и применение их для интерпретации каротажных диаграмм
- 7. Что такое поправка Ларионова.
- 8. Дайте характеристику Neutron-Density Crossplot
- 9. Дайте характеристику Sonic-Density Crossplot
- 10 Определение параметров коллекторов -прокомментируйте слайды 33 и 46.